## 初版

# PSoC® 4 PSoC 4100PS 数据手册

# 可编程片上系统 (PSoC®)

#### 概述

赛普拉斯的 PSoC<sup>®</sup>4 是一款可扩展和可重新配置的平台架构,适用于 Arm<sup>®</sup>Cortex<sup>®</sup>-M0 + CPU 的可编程嵌入式系统控制器系列。它将可编程和可重配置的模拟和数字模块与灵活的自动布线相结合。PSoC 4100PS 是 PSoC 4 平台架构的成员。它结合了具有标准通信和时序外设的微控制器,具有业内最佳性能的电容式触摸感应系统 (CapSense),可编程通用连续时间和开关电容模拟模块以及可编程连接。

## 特性

#### 可编程模拟模块

- 两个专用的模数转换器 (ADC) 包括一个 12 位 SAR ADC 和一个 10 位单斜 ADC
- 四个运算按放大器、两个低功耗比较器和一个非常灵活的38通 道模拟复用器,用于创建自定义的模拟前端(AFE)
- 两个 13 位电压 DAC。
- 两个7位电流 DAC (IDAC),用于任何引脚上的通用或电容式传感应用

## CapSense® 电容式感应

- 赛普拉斯的第四代 CapSense Sigma-Delta (CSD) 感应技术提供了一流的信噪比 (SNR) 和防水性能
- 赛普拉斯提供的软件组件使电容式感应设计变为更加简单
- 硬件自动调校 (SmartSense™)

#### Segment LCD 驱动

- 所有引脚 (Common 或 Segment 引脚 ) 都支持 LCD 驱动
- 能够在深度睡眠模式下运行,每个引脚拥有 4 位存储器

#### 可编程的数字外设

- 三个独立的串行通信模块 (SCB),在运行时间可将它配置为 I2C、SPI 或 UART
- 八个 16 位定时器/计数器/脉宽调制器(TCPWM)模块,支持中心对齐、边沿和伪随机等模式

#### 32 位信号处理引擎

- 高达 48 MHz 的 Arm Cortex-M0+ CPU
- 高达 32 KB 并带有读取加速器的闪存
- 多达 4 KB 的 SRAM 空间
- 基于描述符的 8 通道 DMA 控制器

## 低功耗操作

- 电压范围: 1.71 V ~ 5.5 V
- 深度睡眠模式可支持模拟系统正常操作,并为数字系统提供 2.5 μA 的电流
- 时钟晶体振荡器 (WCO)

#### 可编程 GPIO 引脚

- ■可将多达38个GPIO配置为模拟、数字、CapSense或LCD功能,也可以将其配置为可编程驱动模式、驱动强度和斜率等功能
- ■8 个智能 I/O,用于在输入和输出信号上实现引脚电平的 Boolean 运算
- 封装类型: 48 引脚QFN、48 引脚TQFP、28 引脚SSOP和45球WLCSP

#### PSoC Creator 设计环境

- 集成设计环境 (IDE) 提供了原理图捕获设计输入和编译(包括模拟和数字信号的自动路由),并且通过 Arm-SWD 调试器能够同时开发固件
- 已经对基于 GUI 的可配置 PSoC 组件进行了全面的嵌入式初始 化校准和纠正等操作
- 应用编程接口 (API) 可用于所有固定功能和可编程的外设

#### 工业标准工具的兼容性

■输入原理图后,可以使用基于 Arm 的工业标准开发工具进行开 发软件



## 更多信息

赛普拉斯在www.cypress.com上提供大量数据,帮助为您的设计选择正确的PSoC器件,并帮助您快速有效地将器件集成到您的设计中。要获得全面的资源列表,请参阅知识库文章KBA86521,如何使用PSoC 3, PSoC 4, 和PSoC 5LP进行设计。以下是PSoC 4的简要列表:

- 概述: PSoC Portfolio, PSoC Roadmap
- 产品选择器: PSoC 1, PSoC 3, PSoC 4, PSoC 5LP 此外, PSoC Creator 包括一个器件选择工具。
- 应用笔记: 赛普拉斯提供大量的PSoC应用笔记,涵盖从基础到高端的大量主题。推荐的PSoC 4 入门应用笔记如下:
  - □ AN79953: PSoC 4 入门
- □ AN88619: PSoC 4 硬件设计要素
  □ AN86439: 使用 PSoC 4 GPIO 引脚
  □ AN57821: 混合信号电路板布局
  □ AN81623: 数字设计最佳实践
- □ AN73854: Bootloader 简介
- □ AN89610: Arm Cortex 代码优化
- □ AN85951: PSoC<sup>®</sup> 4 和 PSoC 模拟协处理器 CapSense<sup>®</sup> 设计指南
- 技术参考手册 (TRM) 包括两个文档:
  - □ Architecture TRM 详细描述了各 PSoC 4 功能模块。
  - □ Registers TRM 描述 PSoC 4 寄存器。
- 开发套件:
  - □ CY8CKIT-147 PSoC® 4100PS原型设计套件使您能够以低成本对PSoC 4100PS器件进行评估和开发。

MiniProg3 器件提供了一个用于进行闪存编程和调试的接口。

#### ■ 软件用户手册:

关于使用PSoC Creator的分步指南。该软件用户指南向您展示了PSoC Creator编译过程的详细工作过程,如何使用PSoC Creator的源代码控制等等。

#### ■ 组件数据表:

□ PSoC的灵活性允许在设备投入生产后很长时间创建新的外设(组件)。组件数据表提供选择和使用特定组件所需的所有信息,包括功能描述,API文档,示例代码和AC / DC规范。

#### ■ 在线资源:

□除了打印文档外,通过Cypress PSoC 论坛还可以每周7天,每天24小时与世界各地的PSoC用户和PSoC专家联系。

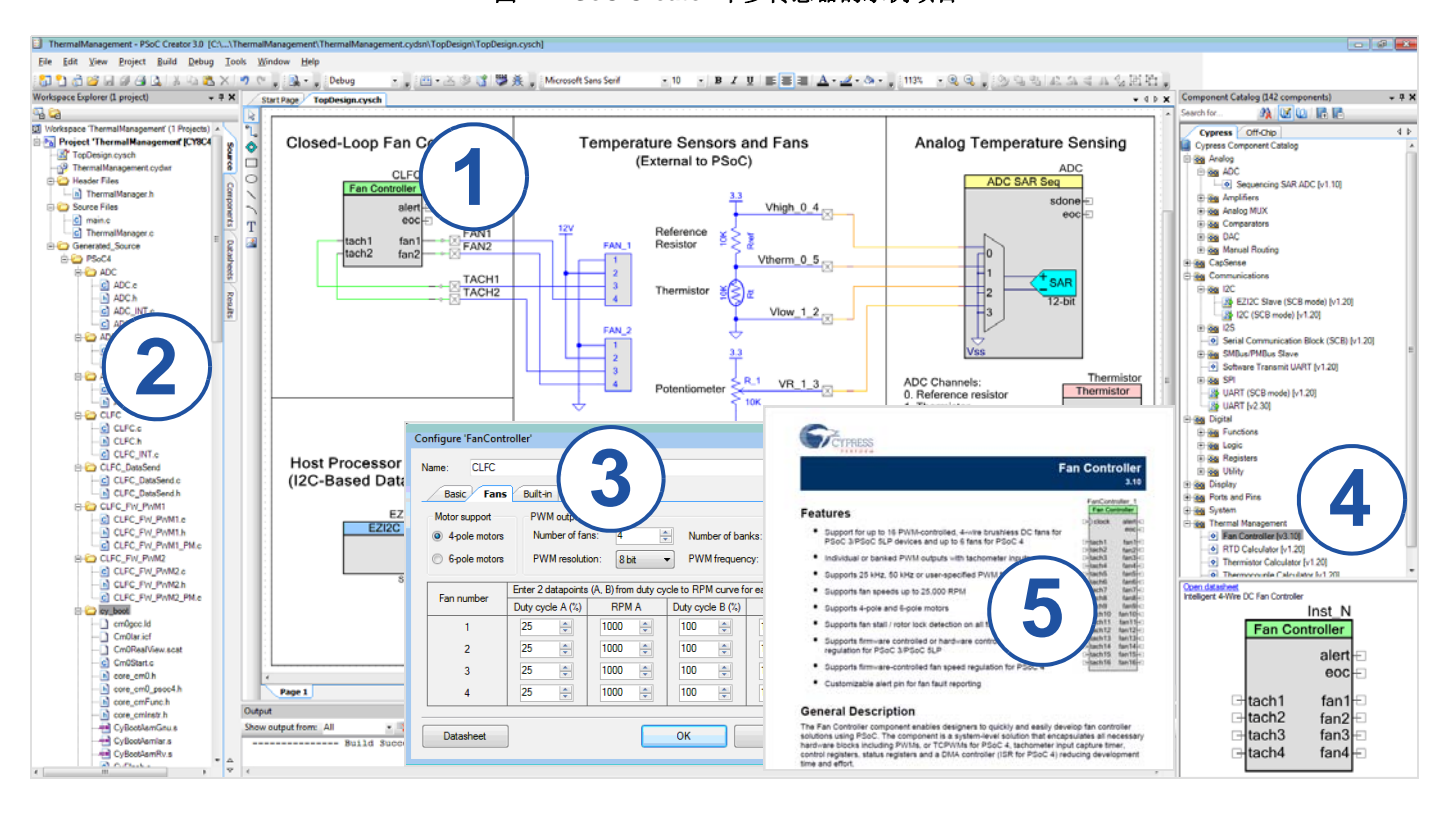


### **PSoC Creator**

PSoC Creator 是免费的基于 Windows 系统的集成设计平台(IDE)。通过它可以同时在 PSoC 3、PSoC 4 和 PSoC 5LP 的系统中设计 硬件和固件。PSoC Creator 通过基于原理图的经典方法设计系统架构,由上百个预验证可用于生产的 PSoC 组件给与支持。更多信息请参考list of component datasheets。使用 PSoC Creator,可以执行以下操作:

- 1. 将组件图标施放到主要设计工作区中,以进行您的硬件系统设计。
- 2. 使用 PSoC Creator 集成开发环境 C 编译器对您的应用固件和 PSoC 硬件进行协同设计。
- 3. 使用配置工具配置组件
- 4. 浏览 100+ 组件的库
- 5. 查看组件数据手册

图 1. PSoC Creator 中多传感器的示例项目





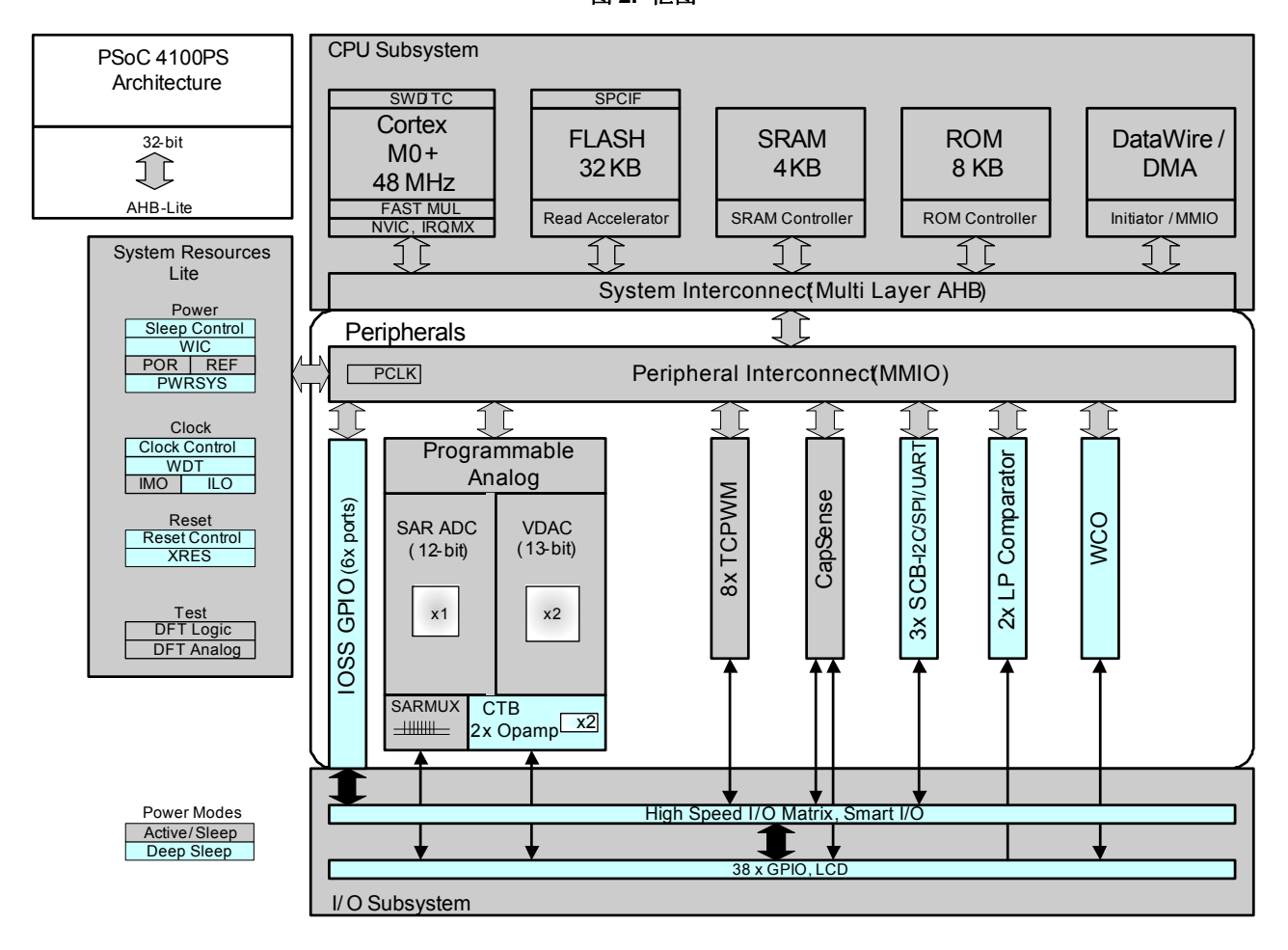
# 目录

| 功能定义                | 6   |
|---------------------|-----|
| CPU和存储器子系统          | 6   |
| 系统资源                | 6   |
| 模拟模块                | 7   |
| 固定功能数字模块            | 8   |
| GPIO                |     |
| 特殊功能外设              | 8   |
| WLCSP 封装 Bootloader | 8   |
| 引脚分布                | 9   |
| 引脚的其他功能             | 11  |
| 电源                  | 13  |
| 模式1:1.8 V到5.5 V外部电源 | 13  |
| 模式2:1.8 V ± 5%外部电源  |     |
| 开发支持                |     |
| 文档                  |     |
| 在线支持                |     |
| 工具                  | 14  |
| 电气规范                |     |
| 最大绝对额定值             |     |
| 哭件级却范               | 4.5 |

| 模拟外设                   | 19 |
|------------------------|----|
| 数字外设                   | 28 |
| 存储器                    |    |
| 系统资源                   | 30 |
| 订购信息                   | 33 |
| 封装                     |    |
| 封装图                    |    |
| 缩略语                    | 38 |
| 文档惯例                   |    |
| 测量单位                   |    |
| PSoC 4100PS资格状态        | 40 |
| 修订记录                   |    |
| 销售、解决方案和法律信息           | 42 |
| 全球销售和设计支持              |    |
| 产品                     |    |
| PSoC <sup>®</sup> 解决方案 |    |
| 赛普拉斯开发者社区              |    |
| 技术支持                   | 42 |







PSoC 4100PS 设备能够为硬件和固件的编程、测试、调试和跟踪提供广泛的支持。

Arm 串行线调试 (SWD) 接口支持器件的所有编程和调试功能。

借助完善的片上调试 (DoC) 功能,可以使用标准的量产器件在最终系统中进行全面的器件调试。它不需要特殊的接口、调试转接板、模拟器或仿真器。只需要标准的编程连接,即可全面支持调试。

PSoC Creator 集成开发环境 (IDE) 软件能够为 PSoC 模拟协处理器设备提供全面集成的编程和调试支持。 SWD 接口与工业标准的第三方工具全面兼容。 PSoC 4100PS 系列提供了一个不适用于多芯片应用解决方案和微控制器的安全级别。它拥有下面优点:

- 允许禁用调试功能
- 稳定的闪存保护功能
- 允许在片上可编程模块上执行客户专用功能

调试电路默认处于使能状态,并且可以通过固件禁用它。如果未 使能,唯一的使能方法是擦除整个器件,清除闪存保护,然后用 使能调试的新固件对器件进行重新编程。只有在擦除固件后才能 改写调试固件的使能,从而提高安全性。

此外,如某些应用担心网络钓鱼会通过对器件恶意重新编程来进行欺诈性攻击或试图启动和中断闪存编程序列来击败安全设定的应用,所有器件接口都可以被永久禁用。当器件的最大安全级别被使能时,将禁用所有编程、调试和测试接口。因此,已使能器件安全性的PSoC 4100PS将不能退回进行失效分析。这是PSoC 4100PS 客户要考虑的地方。



## 功能定义

#### CPU 和存储器子系统

#### CPU

PSoC 4100PS 中的 Cortex-M0 CPU 是 32 位 MCU 子系统的部分,通过扩展的时钟门控来优化该子系统,从而降低功耗。此外,几乎所有指令的长度都为 16 位,并且 CPU 执行 Thumb-2 指令子集。它包括一个带有 8 个中断输入的嵌套向量中断控制器(NVIC)模块和一个唤醒中断控制器(WIC)。通过 WIC 可以将处理器从深度睡眠模式唤醒,这样,允许芯片处于深度睡眠模式时关闭供给主处理器的电源。

CPU 还包含一个串行线调试 (SWD) 接口 — JTAG 的 2 线格式。 PSoC 4100PS 的调试配置拥有四个断点 (地址) 比较器和两个观察点 (数据) 比较器。

#### DMA / 数据线

DMA 能够通过用户可编程的描述符链在存储器映射内任意位置上独立执行数据传输。数据线可将单个数据元素从存储器中某个位置发送到另一个位置。共有八个 DMA 通道以及一系列可选的触发源。

#### 闪存

PSoC 4100PS 包含一个闪存模块,该模块的闪存加速器与 CPU 紧密耦合,以缩短闪存模块的平均访问时间。低功耗闪存模块可在工作频率为48 MHz的情况下实现两个等待状态 (WS)的访问。通过闪存加速器,闪存的单周期访问时间平均为 SRAM 访问时间的 85%。

#### SRAM

4 KB 的 SRAM 能够在工作频率为 48 MHz 的情况下进行零等待状态的访问。

#### **SROM**

提供了包含引导和配置子程序的 8 KB SROM。

#### 系统资源

#### 电源系统

有关电源系统的详细信息,请参考第 13 页上的电源一节。它可确保电压电平满足每个相应模式的要求,为此需要进行以下操作:延迟进入模式(例如,上电复位(POR))直到电压电平满足要求以便能够正常工作,或者生成复位事件(例如,欠压检测)。PSoC4100PS可通过一个外部电源供电,其电压范围为 1.8 V ±5%(外部稳压)或 1.8 V 至 5.5 V (内部稳压)。它拥有三种不同的电源模式,这些模式间的转换由电源系统管理。 PSoC 4100PS 提供了活动模式以及低功耗的睡眠模式和深度睡眠模式。

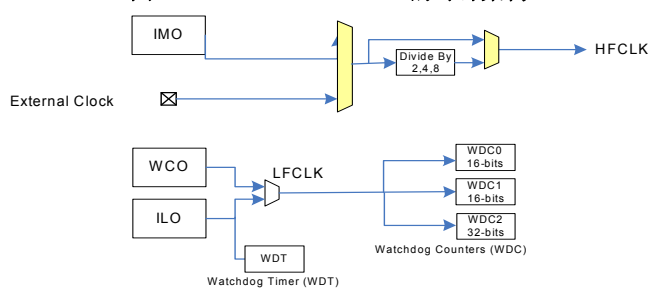
所有子系统在活动模式下都能运行。CPU 子系统 (CPU、闪存和 SRAM) 在睡眠模式下被时钟门控关闭,但所有外设和中断在发生唤醒事件时会立即被激活。在深度睡眠模式下,高速时钟和相关电路都被关闭,从该模式唤醒会需要 35 μs。运算放大器在深度睡眠模式下仍可运行。

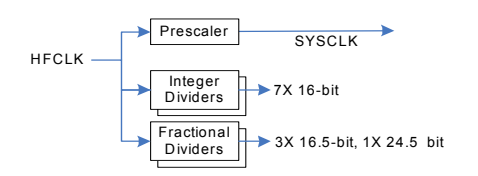
#### 时钟系统

PSoC 4100PS 的时钟系统为需要时钟的所有子系统提供时钟,并且通过该时钟系统可以在各种时钟源之间进行切换而不会造成短时脉冲。此外,该时钟系统可确保不会出现亚稳态情况。

PSoC 4100PS 的时钟系统包括内部主振荡器 (IMO)、内部低频振荡器 (ILO)、一个 32 kHz 时钟晶体振荡器 (WCO),并能够接入一个外部时钟。该系统提供了各个时钟分频器,用于为外设灵活生成高精度的时钟。另外,还提供了分数分频器,从而为UART生成更高数据速率的时钟。

图 3. PSoC 4100PSMCU 的时钟架构





通过分频 HFCLK 信号,可以为模拟和数字外设生成同步时钟。 PSoC 4100PS 共有 11 个时钟分频器,如上图所示。 16 位的分频器能够灵活生成精细的频率值(对于较大的分频率,会使用 24 位的分频器)。 PSoC Creator 完全支持该功能。

#### IMO 时钟源

在 PSoC 4100PS 中,IMO 是主要的内部时钟源。在出厂测试过程中,该时钟源会被校准以达到指定的精度。IMO 的默认频率为24 MHz,并且能以步径为4 MHz 从24 MHz 递增到48 MHz。IMO 的校准容差为±2%。

#### ILO 时钟源

ILO是一个极低功耗的 40 kHz 振荡器, 主要用于为在深度睡眠模式下工作的看门狗和外设提供时钟。利用 IMO 校准 ILO 驱动计数器可以提高精度。赛普拉斯提供了一个用于校准目的的软件组件。

#### 时钟晶体振荡器 (WCO)

PSoC 4100PS 时钟子系统还能够提供一个用于看门狗时序应用的低频率振荡器 (32 kHz 时钟晶振 )。

#### 看门狗定时器

来自 ILO 的时钟模块为看门狗定时器提供时钟,这样允许看门狗 在深度睡眠模式下仍能工作。另外,如果超时还未服务该看门 狗,则将生成看门狗复位。看门狗复位被记录在固件可读的复位 原因寄存器内。



#### 复位

可以通过各种源(包括软件复位)复位 PSoC 4100PS。复位事件是异步的,用于确保将器件及时恢复到一个已知的状态。复位原因被记录在寄存器内,该寄存器的内容在复位过程中保持不变,允许用户通过软件确定复位原因。将 XRES 引脚触发为低电平有效,保留该引脚以供外部复位使用。 XRES 引脚有一个内部上拉电阻(永远使能)。

#### 参考电压

PSoC 4100PS 参考系统生成所需要的所有内部参考电压。1.2 V 参考电压被提供给比较器。 IDAC 基于 ±5% 参考电压。

#### 模拟模块

#### 12 位 SAR ADC

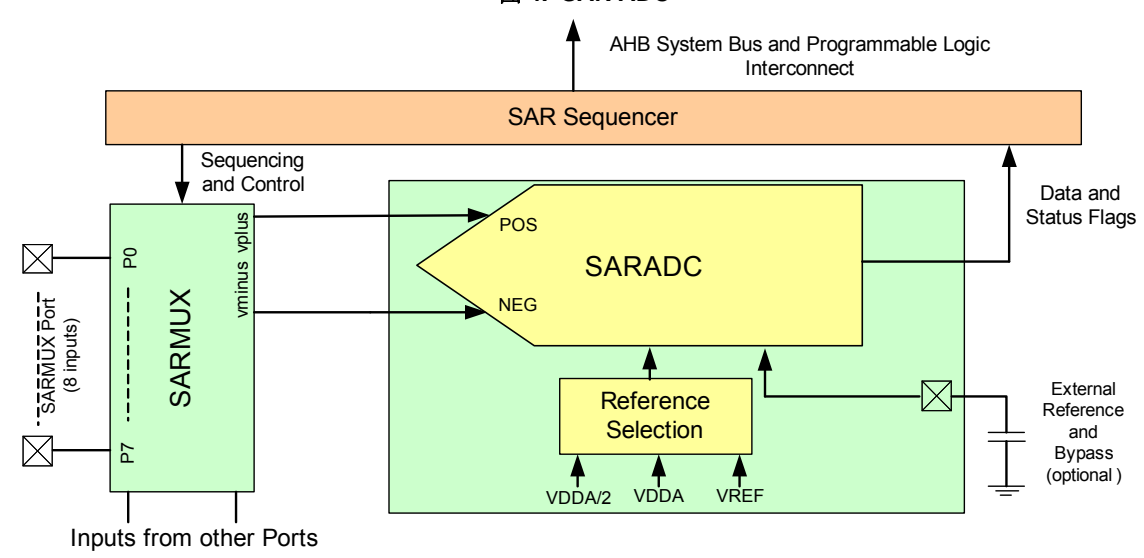
12 位、1 Msps 的 SAR ADC 可在最大为 18 MHz 的时钟速率下运行,在该频率下进行 12 位数据转换至少需要 18 个时钟周期。

采样和保持 (S/H) 时间是可编程, 能够降低对驱动 SAR 输入的放大器 (它决定了 SAR 的建立时间) 的增益带宽的要求。可以通过一个固定的引脚位置为内部参考电压放大器提供一个外部旁路电容。

SAR ADC通过一个8线输入的序列发生器与一些固定引脚相连。序列发生器对选中的通道进行自动扫描(序列发生器扫描),而不需要任何软件开销(即无论是在单通道的还是分布在多通道上,总采样带宽一直等于 1 Msps)。序列发生器的切换通过一个状态机或固件驱动实现。序列发生器可通过缓冲每个通道来减轻 CPU中断处理的要求。为了适应各种源阻抗和频率的信号,每个通道可以编程不同的采样时间。另外, SAR ADC 支持硬件的转换结果溢出检测机制。转换结果的上下范围可以指定并保存在寄存器里,当 ADC 转换结果上/下溢出时,可以触发中断。这样节省了序列发生器扫描操作和 CPU软件检测转换结果溢出与否的时间。

因为 SAR 需要使用高速时钟 (高达 18 MHz), 所以不可在深度睡眠模式下运行。 SAR 的工作电压范围为 1.71 V 到 5.5 V。

#### 图 4. SAR ADC



#### 四个运算放大器 (连续时间模块 CTB)

PSoC 4100PS 有四个可配置为比较器的运算放大器,这样能够在片上执行最常见的模拟功能,而无需外部组件; PGA、电压缓冲区、滤波器、互阻放大器和其他功能(有时候需要使用外部无源器件),从而节省电源、成本和空间。片上运算放大器有足够的带宽来驱动 ADC 的采样和保持电路,而不必使用外部缓冲。

#### VDAC (13 位)

PSoC 4100PS 有两个 13 位分辨率的电压 DAC。

#### 低功耗比较器 (LPC)

PSoC 4100PS 有一对能在深度睡眠模式下工作的低功耗比较器。这样,当模拟系统模块被禁用时,仍可以在低功耗模式下监控外部电压电平。比较器输出通常需要进行同步化,以避免亚稳态,除非它在一个异步功耗模式下操作(在此模式下,比较器电压变动事件可以激活系统唤醒电路)。可将 LPC 输出路由到各个引脚上。

#### 电流 DAC

PSoC 4100PS 拥有两个 IDAC,可以驱动芯片上的任意引脚。可以对这些 IDAC 的电流范围进行编程。

#### 模拟复用总线

PSoC 4100PS具有两个围绕芯片边缘的同心独立总线。它们(称为AMUX总线)与固件可编程的模拟开关相连,通过这些开关,



芯片的内部资源 (IDAC、比较器) 可连接至I/O端口上的任意引脚。

#### 温度传感器

片上温度传感器在生产过程中进行了校准,以实现精度偏差±1% (最大值±5%)。SAR ADC用于测量温度。

#### 固定功能数字模块

#### 定时器/计数器/PWM (TCPWM) 模块

TCPWM 模块包含一个用户可编程周期长度的 16 位计数器。另外,还有一个捕获寄存器,用于记录发生事件(可能是 I/O 事件)时的计数值;一个周期寄存器,用于停止或自动重新加载计数器(如果它的计数值等于周期寄存器的值)和多个比较寄存器,用于生成可作为 PWM 占空比输出的比较值信号。该模块还提供了正向输出和反向输出间的可编程偏移;这样,这些输出可以作为可编程死区的互补 PWM 输出使用。它还有一个停止(Kill)输入,用于强制输出预定的状态;例如,在用于马达驱动系统中,当出现过流状态时,需要立即关闭驱动 FET 的 PWM 而不能等待软件干预。 PSoC 4100PS 中共有八个 TCPWM 模块。

#### 串行通信模块 (SCB)

PSoC 4100PS 有三个串行通信模块,可将其配置为 SPI、I<sup>2</sup>C 或 UART 功能。

I<sup>2</sup>C 模式: 硬件 I<sup>2</sup>C 模块实现了一个完整的多主设备和从设备接口(它具有多主设备的校准功能)。该模块的工作速率可达 1 Mbps (快速模式+),另外它还提供各种灵活的缓冲选项,能够降低 CPU的中断开销和延迟。该模块还具有一个 EZI2C,通过它可以在PSoC 4100PS 的存储器中创建缓冲存储器的地址范围,并且对存储器中的阵列进行读写操作时可以大量降低 I<sup>2</sup>C 通信。此外,该模块提供一个深度为 8 字节的 FIFO,用于接收和传送数据;通过延长 CPU 读取数据的时间,该特性大量减少了时钟延展的发生(由于 CPU 没有及时读取数据而导致的现象)。

 $I^2$ C 外设与  $I^2$ C 标准模式和快速模式器件相兼容,在 NXP  $I^2$ C 总线规范和用户手册 (UM10204) 中定义。在开漏模式下,可以使用 GPIO 实现  $I^2$ C 总线 I/O。

针对下列方面来说, PSoC 4100PS 不完全符合  $I^2C$  规范:

■ GPIO 单元没有过压容差功能,因此不能热插拔或者由其它的 I<sup>2</sup>C 系统单独供电。

UART模式: 这是一个运行速度高达 1 Mbps 的全功能 UART。它支持汽车单线接口 (LIN)、红外接口 (IrDA) 和智能卡 (ISO7816)协议,这些全部都是基本 UART 协议的衍生协议。此外,它还支持 9 位多处理器模式,此模式允许寻址连接到通用 RX 和 TX 线的外设。支持通用 UART 功能,如奇偶校验错误、中断检测以及帧错误。一个 8 字节深度的 FIFO 容许更长的 CPU 服务延迟。

**SPI 模式**: SPI 模式完全支持 Motorola SPI、 TI SSP (添加了一个用于同步 SPI 编解码的启动脉冲) 和 National Microwire (SPI 的半双工形式)。该 SPI 模块可以使用 FIFO。

#### **GPIO**

PSoC 4100PS 具有多大 38 个 GPIO。GPIO 模块实现下列功能:

- 八种驱动模式:
- □模拟输入模式(输入和输出缓冲区禁用)
- □只输入
- □弱上拉和强下拉
- □强上拉和弱下拉
- □开漏和强下拉
- □开漏和强上拉
- □强上拉和强下拉
- □弱上拉和弱下拉
- 输入阈值选择 (CMOS 或 LVTTL)
- ■除了强驱动模式外,需要单独控制输入和输出缓冲区的使能/禁 用
- 可选的斜率,用于控制 dV/dt 相关噪声,有助于降低 EMI

各个引脚被分为逻辑实体并称为端口,每个端口的宽度为8位(端口2和3会少一些)。在上电和复位期间,各模块被强制为禁用状态,以防止给任何输入供电和/或造成引脚启用时的过电流现象。一个高速 I/O 矩阵的复用网络用于复用连接多个信号至一个 I/O 引脚。

数据输出寄存器和引脚状态寄存器分别用于存储输出到引脚上的 数据和引脚状态。

如果 I/O 引脚被使能,它将生成一个中断,并且每个 I/O 端口都有一个中断请求 (IRQ) 和相关的中断服务子程序 (ISR) 向量 (对于 PSoC 4100PS,向量数量为 4)。智能 I/O 模块由各开关和 LUT构成,该模块允许路由到 GPIO 端口引脚上的信号实现布尔 (Boolean) 功能。智能 I/O 可在连接到芯片的输入引脚上或输出信号上进行逻辑操作。

#### 特殊功能外设

#### CapSense

PSoC 4100PS 中的 CSD 模块为用户提供 CapSense 功能;一个模拟复用总线通过模拟开关能连接到任何引脚。因此,在软件控制情况下,系统中的任何可用引脚或引脚组都可以提供 CapSense 功能。另外,为了方便用户使用,还为 CapSense 模块提供了 PSoC Creator 组件。

通过将屏蔽电压驱动到另一个模拟总线可以提供防水功能。通过 在同相位中驱动屏蔽电极和感应电极,可以提供防水功能,从而 可以避免屏蔽电容衰减感应输入。另外可以实现接近感应。

CapSense 模块有两个 IDAC。可以将它作为通用 IDAC,如果不用 CapSense (两个 IDAC 都可用)或 CapSense 没有防水功能(一个 IDAC 可用)。 CapSense 模块还提供 10 位斜率 ADC 功能,该功能可与 CapSense 功能配合使用。

CapSense 模块是一个高级、低噪声的可编程模块,它提供了可编程的参考电压和电流源范围,有助于提升系统的灵敏和灵活性。它也可以使用外部参考电压。它支持全波 CSD 模式,交换检测 VDDA 和接地电压,以消除电源相关的噪声。

#### WLCSP 封装 Bootloader

WLCSP 封装与在闪存内安装的 I<sup>2</sup>C Bootloader 一起提供。 Bootloader 与 PSoC Creator bootloader 项目文件相兼容。



# 引脚分布

下表 提供了 PSoC 4100PS 在 48 引脚 QFN、 48 引脚 TQFP 和 32 引脚 CSP 封装中的引脚分布。所有端口引脚都支持 GPIO。

|    |        |    |         | 封装       |         |    |        |
|----|--------|----|---------|----------|---------|----|--------|
|    | 48-QFN |    | 48-TQFP | <u> </u> | 28-SSOP |    | 45-CSP |
| 引脚 | 名称     | 引脚 |         | 引脚       | 名称      | 引脚 | <br>名称 |
| 28 | P0.0   | 28 | P0.0    | 21       | P0.0    | D3 | P0.0   |
| 29 | P0.1   | 29 | P0.1    | 22       | P0.1    | E2 | P0.1   |
| 30 | P0.2   | 30 | P0.2    | 23       | P0.2    | D2 | P0.2   |
| 31 | P0.3   | 31 | P0.3    |          |         | C3 | P0.3   |
| 32 | P0.4   | 32 | P0.4    |          |         | D1 | P0.4   |
| 33 | P0.5   | 33 | P0.5    |          |         | E1 | P0.5   |
| 34 | P0.6   | 34 | P0.6    |          |         | C2 | P0.6   |
| 35 | P0.7   | 35 | P0.7    |          |         | B2 | P0.7   |
| 36 | XRES   | 36 | XRES    | 24       | XRES    | В3 | XRES   |
| 37 | P4.0   | 37 | P4.0    |          |         | A1 | P4.0   |
| 38 | P4.1   | 38 | P4.1    |          |         | B1 | P4.1   |
| 39 | P5.0   | 39 | P5.0    | 25       | P5.0    | B4 | P5.0   |
| 40 | P5.1   | 40 | P5.1    |          |         | C1 | P5.1   |
| 41 | P5.2   | 41 | P5.2    | 26       | P5.2    | A2 | P5.2   |
| 42 | P5.3   | 42 | P5.3    | 27       | P5.3    | A3 | P5.3   |
| 43 | VDDA   | 43 | VDDA    | 28       | VDDA    | J2 | VDDA   |
| 44 | VSSA   | 44 | VSSA    |          |         | J3 | VSSA   |
| 45 | VCCD   | 45 | VCCD    | 1        | VCCD    | A4 | VCCD   |
|    |        |    |         |          |         | B5 | VDDD   |
| 46 | VSSD   | 46 | VSSD    | 2        | VSSD    | A5 | VSSD   |
| 47 | VDDD   | 47 | VDDD    | 3        | VDDD    |    |        |
| 48 | P1.0   | 48 | P1.0    | 4        | P1.0    | C5 | P1.0   |
| 1  | P1.1   | 1  | P1.1    | 5        | P1.1    | C4 | P1.1   |
| 2  | P1.2   | 2  | P1.2    | 6        | P1.2    | D5 | P1.2   |
| 3  | P1.3   | 3  | P1.3    | 7        | P1.3    | D4 | P1.3   |
| 4  | P1.4   | 4  | P1.4    |          |         | E3 | P1.4   |
| 5  | P1.5   | 5  | P1.5    |          |         | E4 | P1.5   |
| 6  | P1.6   | 6  | P1.6    |          |         |    |        |
| 7  | P1.7   | 7  | P1.7    |          |         | G3 | P1.7   |
| 8  | VDDA   | 8  | VDDA    | 8        | VDDA    | E5 | VDDA   |
| 9  | VSSA   | 9  | VSSA    | 9        | VSSA    | F5 | VSSA   |
| 10 | P2.0   | 10 | P2.0    | 10       | P2.0    | F4 | P2.0   |
| 11 | P2.1   | 11 | P2.1    | 11       | P2.1    | F3 | P2.1   |
| 12 | P2.2   | 12 | P2.2    | 12       | P2.2    | G4 | P2.2   |
| 13 | P2.3   | 13 | P2.3    | 13       | P2.3    | G5 | P2.3   |
| 14 | P2.4   | 14 | P2.4    |          |         | H5 | P2.4   |
| 15 | P2.5   | 15 | P2.5    |          |         | J4 | P2.5   |
| 16 | P2.6   | 16 | P2.6    |          |         | H4 | P2.6   |



|    |           |    | į         | 対装 |           |        |           |  |
|----|-----------|----|-----------|----|-----------|--------|-----------|--|
|    | 48-QFN    |    | 48-TQFP   |    | 28-SSOP   | 45-CSP |           |  |
| 引脚 | 名称        | 引脚 | 名称        | 引脚 | 名称        | 引脚     | 名称        |  |
| 17 | P2.7/VREF | 17 | P2.7/VREF | 14 | P2.7/VREF | J5     | P2.7/VREF |  |
| 18 | VSSA      | 18 | VSSA      |    |           | J3     | VSSA      |  |
| 19 | VDDA      | 19 | VDDA      | 15 | VDDA      | J2     | VDDA      |  |
| 20 | P3.0      | 20 | P3.0      |    |           | H2     | P3.0      |  |
| 21 | P3.1      | 21 | P3.1      | 16 | P3.1      | F2     | P3.1      |  |
| 22 | P3.2      | 22 | P3.2      | 17 | P3.2      | J1     | P3.2      |  |
| 23 | P3.3      | 23 | P3.3      | 18 | P3.3      | H3     | P3.3      |  |
| 24 | P3.4      | 24 | P3.4      |    |           | F1     | P3.4      |  |
| 25 | P3.5      | 25 | P3.5      |    |           | G2     | P3.5      |  |
| 26 | P3.6      | 26 | P3.6      | 19 | P3.6      | G1     | P3.6      |  |
| 27 | P3.7      | 27 | P3.7      | 20 | P3.7      | H1     | P3.7      |  |

## 各种电源引脚的功能如下说明:

VDDD:数字部分的电源。 VDDA:模拟部分的电源。

VSS:接地引脚。

VCCD: 稳压数字电源 (1.8 V ± 5%)。

48 引脚的封装类型都有 38 个 I/O 引脚 45-CSP 和 28-SSOP 封装则分别有 37 和 20 个 I/O 引脚。



# 引脚的其他功能

每个端口引脚均可用于实现某个功能,例如:作为模拟 I/O、数字外设功能、 CapSense 引脚或 LCD 引脚。引脚分配如下表所示。

| ᄴᅲᄀᆱᄦ | LH-1ni                             | 0                |                       |                   | 活动           |                | 深度睡眠             |                      |  |
|-------|------------------------------------|------------------|-----------------------|-------------------|--------------|----------------|------------------|----------------------|--|
| 端口/引脚 | 模拟                                 | SmartIO          | ACT #0                | ACT #1            | ACT #2       | ACT #3         | DS #0            | DS #1                |  |
| P0.0  |                                    | SmartIO[0].io[0] | tcpwm.line[4]:1       |                   |              | tcpwm.tr_in[0] | cpuss.swd_data:0 | scb[0].spi_select1:0 |  |
| P0.1  |                                    | SmartIO[0].io[1] | tcpwm.line_compl[4]:1 |                   |              | tcpwm.tr_in[1] | cpuss.swd_clk:0  | scb[0].spi_select2:0 |  |
| P0.2  |                                    | SmartIO[0].io[2] | tcpwm.line[5]:1       |                   | srss.ext_clk |                |                  | scb[0].spi_select3:0 |  |
| P0.3  |                                    | SmartIO[0].io[3] | tcpwm.line_compl[5]:1 |                   |              |                |                  |                      |  |
| P0.4  |                                    | SmartIO[0].io[4] | tcpwm.line[6]:1       | scb[1].uart_rx:0  |              |                | scb[1].i2c_scl:0 | scb[1].spi_mosi:0    |  |
| P0.5  |                                    | SmartIO[0].io[5] | tcpwm.line_compl[6]:1 | scb[1].uart_tx:0  |              |                | scb[1].i2c_sda:0 | scb[1].spi_miso:0    |  |
| P0.6  |                                    | SmartIO[0].io[6] |                       | scb[1].uart_cts:0 |              |                | lpcomp.comp[0]:0 | scb[1].spi_clk:0     |  |
| P0.7  |                                    | SmartIO[0].io[7] |                       | scb[1].uart_rts:0 |              |                | lpcomp.comp[1]:0 | scb[1].spi_select0:0 |  |
| P4.0  | wco_in                             |                  | tcpwm.line[0]:2       | scb[2].uart_rx:1  |              | tcpwm.tr_in[5] | scb[2].i2c_scl:1 | scb[2].spi_mosi:1    |  |
| P4.1  | wco_out                            |                  | tcpwm.line_compl[0]:2 | scb[2].uart_tx:1  |              | tcpwm.tr_in[6] | scb[2].i2c_sda:1 | scb[2].spi_miso:1    |  |
| P5.0  | csd.cshieldpads                    |                  | tcpwm.line[7]:1       | scb[0].uart_rx:1  |              |                | scb[0].i2c_scl:1 | scb[0].spi_mosi:1    |  |
| P5.1  | csd.vref_ext                       |                  | tcpwm.line_compl[7]:1 | scb[0].uart_tx:1  |              |                | scb[0].i2c_sda:1 | scb[0].spi_miso:1    |  |
| P5.2  | csd.dsi_cmod                       |                  | tcpwm.line[6]:2       | scb[0].uart_cts:1 | tr_sar_out   |                |                  | scb[0].spi_clk:1     |  |
| P5.3  | csd.dsi_csh_tank                   |                  | tcpwm.line_compl[6]:2 | scb[0].uart_rts:1 |              |                |                  | scb[0].spi_select0:1 |  |
| P1.0  | ctb_pads[8]<br>lpcomp.in_p[1]      |                  | tcpwm.line[0]:1       | scb[1].uart_rx:1  |              |                | scb[1].i2c_scl:1 | scb[1].spi_mosi:1    |  |
| P1.1  | ctb_pads[9]<br>lpcomp.in_n[1]      |                  | tcpwm.line_compl[0]:1 | scb[1].uart_tx:1  |              |                | scb[1].i2c_sda:1 | scb[1].spi_miso:1    |  |
| P1.2  | ctb_pads[10]<br>ctb_oa0_out_10x[1] |                  | tcpwm.line[1]:1       | scb[1].uart_cts:1 |              |                |                  | scb[1].spi_clk:1     |  |
| P1.3  | ctb_pads[11]<br>ctb_oa1_out_10x[1] |                  | tcpwm.line_compl[1]:1 | scb[1].uart_rts:1 |              |                |                  | scb[1].spi_select0:1 |  |
| P1.4  | ctb_pads[12]                       |                  | tcpwm.line[2]:1       |                   |              |                |                  | scb[1].spi_select1:0 |  |
| P1.5  | ctb_pads[13]                       |                  | tcpwm.line_compl[2]:1 |                   |              |                |                  | scb[1].spi_select2:0 |  |
| P1.6  | ctb_pads[14]                       |                  | tcpwm.line[3]:1       |                   |              |                |                  | scb[1].spi_select3:0 |  |
| P1.7  | ctb_pads[15]                       |                  | tcpwm.line_compl[3]:1 |                   |              |                |                  |                      |  |
| P2.0  | ctb_pads[0]                        |                  | tcpwm.line[4]:0       | scb[2].uart_rx:0  |              |                | scb[2].i2c_scl:0 | scb[2].spi_mosi:0    |  |

文档编号: 002-23774 版本 \*\*



| 端口/引脚 | Jelly Lint                        | SmartIO |                       |                   | 活动     |                | 深度               | <b>E睡眠</b>           |
|-------|-----------------------------------|---------|-----------------------|-------------------|--------|----------------|------------------|----------------------|
| 衛口/分層 | 模拟                                | Smartio | ACT #0                | ACT #1            | ACT #2 | ACT #3         | DS #0            | DS #1                |
| P2.1  | ctb_pads[1]                       |         | tcpwm.line_compl[4]:0 | scb[2].uart_tx:0  |        |                | scb[2].i2c_sda:0 | scb[2].spi_miso:0    |
| P2.2  | ctb_pads[2]<br>ctb_oa0_out_10x[0] |         | tcpwm.line[5]:0       | scb[2].uart_cts:0 |        |                |                  | scb[2].spi_clk:0     |
| P2.3  | ctb_pads[3]<br>ctb_oa1_out_10x[0] |         | tcpwm.line_compl[5]:0 | scb[2].uart_rts:0 |        |                |                  | scb[2].spi_select0:0 |
| P2.4  | ctb_pads[4]                       |         | tcpwm.line[0]:0       |                   |        |                |                  | scb[2].spi_select1:0 |
| P2.5  | ctb_pads[5]                       |         | tcpwm.line_compl[0]:0 |                   |        |                |                  | scb[2].spi_select2:0 |
| P2.6  | ctb_pads[6]                       |         | tcpwm.line[1]:0       |                   |        |                |                  | scb[2].spi_select3:0 |
|       | ctb_pads[7]                       |         | tcpwm.line_compl[1]:0 |                   |        |                |                  |                      |
| P2.7  | sar_ext_vref0<br>sar_ext_vref1    |         |                       |                   |        |                |                  |                      |
| P3.0  | sarmux[0]                         |         | tcpwm.line[2]:0       | scb[0].uart_rx:0  |        |                | scb[0].i2c_scl:0 | scb[0].spi_mosi:0    |
| P3.1  | sarmux[1]                         |         | tcpwm.line_compl[2]:0 | scb[0].uart_tx:0  |        |                | scb[0].i2c_sda:0 | scb[0].spi_miso:0    |
| P3.2  | sarmux[2]<br>lpcomp.in_p[0]       |         | tcpwm.line[3]:0       | scb[0].uart_cts:0 |        |                |                  | scb[0].spi_clk:0     |
| P3.3  | sarmux[3]<br>lpcomp.in_n[0]       |         | tcpwm.line_compl[3]:0 | scb[0].uart_rts:0 |        |                |                  | scb[0].spi_select0:0 |
| P3.4  | sarmux[4]                         |         | tcpwm.line[6]:0       |                   |        | tcpwm.tr_in[2] |                  | scb[0].spi_select1:1 |
| P3.5  | sarmux[5]                         |         | tcpwm.line_compl[6]:0 |                   |        | tcpwm.tr_in[3] | csd.comp         | scb[0].spi_select2:1 |
| P3.6  | sarmux[6]                         |         | tcpwm.line[7]:0       | scb[2].uart_rx:2  |        | tcpwm.tr_in[4] | scb[2].i2c_scl:2 | scb[2].spi_mosi:2    |
| P3.7  | sarmux[7]                         |         | tcpwm.line_compl[7]:0 | scb[2].uart_tx:2  |        |                | scb[2].i2c_sda:2 | scb[2].spi_miso:2    |

有关CTB连接的详细信息,请参阅技术参考手册 (TRM)。 VDAC输出通过CTB输出进行缓冲; 任何VDAC输出都可以路由到任何CTB输出。

文档编号: 002-23774 版本 \*\*

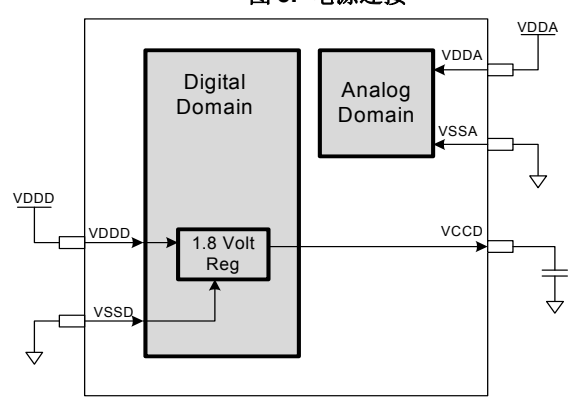


### 电源

下面的电源系统框图显示了 PSoC 4100PS 中电源引脚的设置情况。该系统具有一个处于活动模式的电压调节器,供给数字电路使用。由于没有模拟电压调节器,因此模拟电路直接使用 V<sub>DDA</sub>输入来运行。

#### 注意 VDDD 和 VDDA 必须在PCB上短接。

图 5. 电源连接



共有两种操作模式。在模式 1 中,电压范围从 1.8 V 到 5.5 V (未经外部稳压;使用内部电压调节器)。在模式 2 中,电压范围为 1.8 V ±5% (使用外部稳压;电压范围为 1.71 到 1.89 V,不使用内部电压调节器)。

#### 模式 1:1.8 V 到 5.5 V 外部电源

在该模式下,PSoC 4100PS 由外部电源供电,它的范围为 1.8 到 5.5 V。该范围也适用于电池供电的操作。例如,芯片可由一个开始为 3.5 V,然后下降到 1.8 V 的电池系统供电。在此模式下,PSoC 4100PS 的内部电压调节器为内部逻辑供电,并且它的输出与  $V_{CCD}$  引脚连接。  $V_{CCD}$  引脚输出必须通过外部电容  $(0.1~\mu F;~X5R$  陶瓷或性能更好的电容 ) 旁路接地,并且不可连接到其它部分。

#### 模式 2:1.8 V ± 5% 外部电源

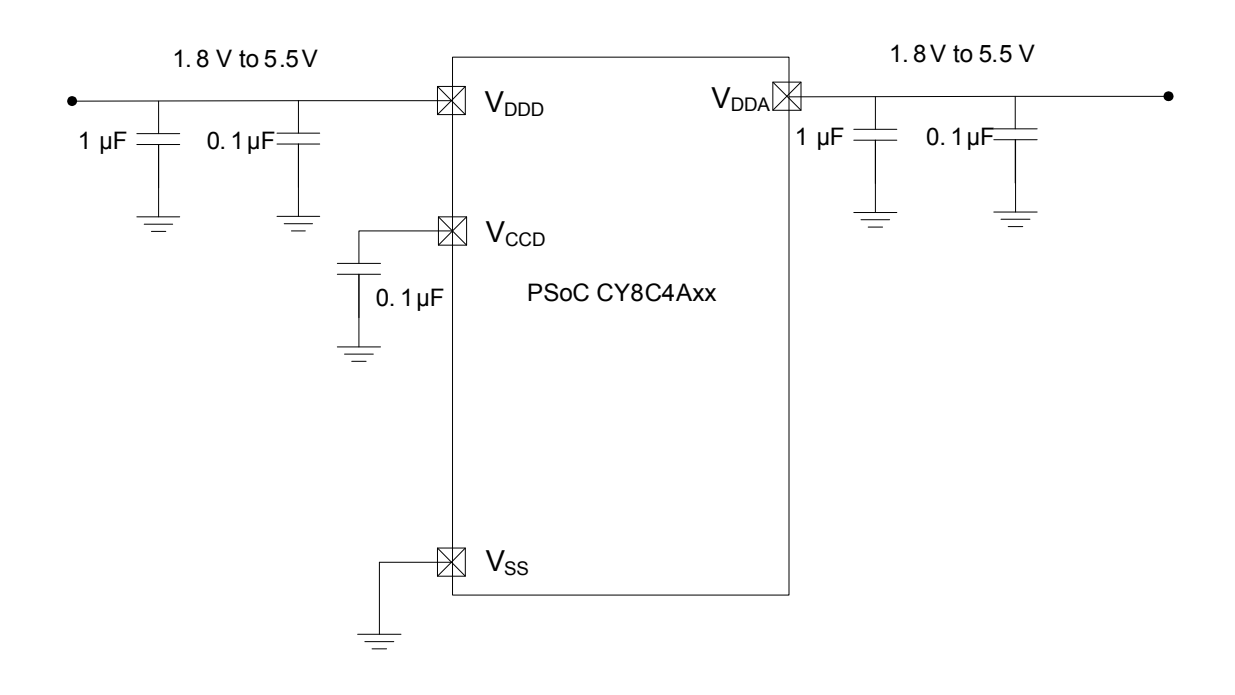
在该模式下, PSoC 4100PS 由一个外部电源供电,它的电压范围为 1.71 V 至 1.89 V;请注意,此范围必须包括了纹波。在该模式下, V<sub>DDD</sub> 和 V<sub>CCD</sub> 引脚短接相连并被旁路。内部电压调节器可通过固件被禁用。

 $V_{DDD}$ 、 $V_{DDA}$  和地之间必须有旁路电容对于在该频率范围内工作的系统,通常选用一个 1  $\mu$ F 的电容,与一个较小的电容 (如 0.1  $\mu$ F) 并行放置。请注意,这只是简单的经验法则。对于重要的应用,PCB 布局、走线间的电感和旁路寄生电容需要通过仿真设计以获得最佳的旁路。

旁路方案示例如下图所示。

#### 图 6. 外部电源(电压范围从 1.8 V 到 5.5 V, 使能内部电压调节器)

### Power supply bypass connections example





## 开发支持

PSoC 4100PS 系列具有一系列丰富的文档、开发工具和在线资源,能够在开发过程中为您提供帮助。更多有关信息,请访问www.cypress.com/go/psoc4 网站。

#### 文档

通过 PSoC 4100PS 系列的一系列文档,您可以快速找到问题的答案。本节列出了一些关键文档。

**软件用户指南**:介绍了有关使用 PSoC Creator 的流程。该指南详细介绍了 PSoC Creator 的构建流程、如何使用 PSoC Creator 的资源控件等信息。

**组件数据手册**: PSoC 非常灵活, IC 在投入生产很长时间后依然可以创建新的外设(组件)。组件数据手册提供了选择和使用特定组件所需的全部信息,其中包括功能说明、API 文档、示例代码以及交流/直流规范。

应用笔记: PSoC 应用笔记深入讨论了 PSoC 的特定应用,例如直流无刷电机控制和片上滤波。除了应用笔记文档之外,应用笔记通常还包括示例项目。

**技术参考手册**: 技术参考手册 (TRM) 包含使用 PSoC 器件所需的 全部技术细节,其中包括有关所有 PSoC 寄存器的完整说明。技术参考手册 (TRM) 在 www.cypress.com/psoc4 网站上的文档部分提供。

## 在线支持

除了印刷文档之外,您还可以随时通过赛普拉斯 PSoC 论坛,与世界各地的 PSoC 用户和专家互相联系。

## 工具

具备工业标准的内核、编程和调试接口,PSoC 4100PS 系列是开发工具体系的一个组成部分。有关易于使用的创新型 PSoC Creator IDE、所支持的第三方编译器、编程器、调试器和开发套件的最新信息,请访问我们的网站 : www.cypress.com/go/psoccreator。



## 电气规范

## 最大绝对额定值

## 表 1. 最大绝对额定值 [1]

| 规范 ID | 参数                          | 说明   | 最小值  | 典型值 | 最大值                  | 单位 | 详情/条件   |
|-------|-----------------------------|--|------|-----|----------------------|----|---|
| SID1  | V <sub>DD_ABS</sub>         | 相对于 V <sub>SS</sub> 的数字或模拟供电电压   | -0.5 | _   | 6                    | ., | V <sub>DDD</sub> , V <sub>DDA</sub> , 绝对<br>最大值 |
| SID2  | V <sub>CCD_ABS</sub>        | 相对于 V <sub>SS</sub> 的直接数字内核输入电压  | -0.5 | _   | 1.95                 | V  | _   |
| SID3  | V <sub>GPIO_ABS</sub>       | GPIO 电压  | -0.5 | _   | V <sub>DD</sub> +0.5 |    | _   |
| SID4  | I <sub>GPIO_ABS</sub>       | 每个 GPIO 上的最大电流   | -25  | _   | 25                   |    | _   |
| SID5  | I <sub>GPIO_injection</sub> | GPIO 注入电流, V <sub>IH</sub> > V <sub>DDD</sub> 时,该值最大; V <sub>IL</sub> < V <sub>SS</sub> 时,该值最小 | -0.5 | _   | 0.5                  | mA | 每个引脚的注入<br>电流                                   |
| BID44 | ESD_HBM                     | 人体静电放电模型   | 2200 | _   | _                    | V  | _   |
| BID45 | ESD_CDM                     | 静电放电的带电器件模型  | 500  | _   | _                    | V  | _   |
| BID46 | LU                          | 栓锁的引脚电流  | -140 | _   | 140                  | mA | _   |

## 器件级规范

除非另有说明,否则规范的适用条件是  $-40~^{\circ}$ C  $\leq$  T<sub>A</sub>  $\leq$  105  $^{\circ}$ C 和 T<sub>J</sub>  $\leq$  125  $^{\circ}$ C,除非另有说明,否则这些规范的适用范围为 1.71 V  $\sim$  5.5 V。

#### 表 2. 直流规范

典型值的测量条件为:  $V_{DD} = 3.3 \text{ V}$ ,温度 = 25 °C。

| 规范 ID   | 参数  | 说明   | 最小值  | 典型值  | 最大值      | 单位 | 详情/条件                 |  |  |  |
|---------|---|--|------|------|----------|----|-----------------------|--|--|--|
| SID53   | $V_{DD}$  | 电源输入电压                                       | 1.8  | _    | 5.5      |    | 使能了电压调节器              |  |  |  |
| SID255  | $V_{DD}$  | 电源输入电压 (V <sub>CCD</sub> = V <sub>DD</sub> ) | 1.71 | _    | 1.89     | V  | 内部未稳压电源               |  |  |  |
| SID54   | $V_{DDIO}$  | V <sub>DDIO</sub> 供电范围                       | 1.71 | _    | $V_{DD}$ |    | _                     |  |  |  |
| SID55   | C <sub>EFC</sub>  | 外部电压调节器电压旁路                                  | ı    | 0.1  | -        | μF | 绝缘介质为 X5R 的陶瓷或性能更好的电容 |  |  |  |
| SID56   | C <sub>EXC</sub>  | 内部电压旁路电容                                     | 1    | 1    | -        | μι | 绝缘介质为 X5R 的陶瓷或性能更好的电容 |  |  |  |
| 在活动模式下, | 在活动模式下, V <sub>DD</sub> = 1.8 V ~ 5.5 V。典型值是在 25 °C 和 VDD = 3.3 V 的条件下测量得到。 |  |      |      |          |    |                       |  |  |  |
| SID9    | I <sub>DD5</sub>  | 从闪存内执行;<br>CPU 的运行速率为 6 MHz                  | 1    | 2    | -        |    | _                     |  |  |  |
| SID12   | I <sub>DD8</sub>  | 从闪存执行;<br>CPU 的运行速度为 24 MHz                  | 1    | 5.6  | -        | mA | _                     |  |  |  |
| SID16   | I <sub>DD11</sub>   | 从闪存内执行;<br>CPU 的运行速度为 48 MHz                 | 1    | 10.4 | -        |    | _                     |  |  |  |
| 在睡眠模式下, | 在睡眠模式下, VDDD = 1.8 V ~ 5.5 V ( 使能电压调节器 )                                    |  |      |      |          |    |                       |  |  |  |
| SID22   | I <sub>DD17</sub>   | I <sup>2</sup> C 唤醒、WDT 和比较器都被启用             | _    | 1.1  | _        | mA | 6 MHz                 |  |  |  |
| SID25   | I <sub>DD20</sub>   | I <sup>2</sup> C 唤醒、WDT 和比较器都被启用             | _    | 3.1  | _        |    | 12 MHz                |  |  |  |

#### 注释:

<sup>1.</sup> 器件在高于表 1 中所列出的最大绝对值条件下工作可能会造成永久性损害。长期在最大绝对值的条件下使用可能会影响器件的可靠性。最大存放温度是 150°C,符合 JEDEC JESD22-A103 — 高温度存放使用寿命标准。如果采用的值低于最大绝对值但高于正常值,则器件可能不正常工作。



### 表 2. 直流规范 (续)

典型值的测量条件为:  $V_{DD}$  = 3.3 V,温度 = 25  $^{\circ}$ C。

| 规范 ID  | 参数                  | 说明  | 最小值 | 典型值 | 最大值 | 单位 | 详情/条件  |  |  |
|--|---------------------|---|-----|-----|-----|----|--------|--|--|
| 在睡眠模式下, V <sub>DDD</sub> = 1.71 V ~ 1.89 V ( 旁路电压调节器 ) |                     |   |     |     |     |    |        |  |  |
| SID28  | IDD23               | I <sup>2</sup> C 唤醒、WDT 和比较器都被启用                    | _   | 1.1 | 1   | mA | 6 MHz  |  |  |
| SID28A   | IDD23A              | I <sup>2</sup> C 唤醒、WDT 和比较器都被启用                    | _   | 3.1 | 1   | mA | 12 MHz |  |  |
| 在深度睡眠模式下, V <sub>DD</sub> = 1.8 V ~ 3.6 V ( 使能电压调节器 )  |                     |   |     |     |     |    |        |  |  |
| SID31  | I <sub>DD26</sub>   | I <sup>2</sup> C 唤醒和 WDT 被启用                        | _   | 2.5 | 1   | μΑ | -      |  |  |
| 在深度睡眠模式  | 下,V <sub>DD</sub> = | 3.6 V~5.5 V ( 使能电压调节器 )                             |     |     |     |    |        |  |  |
| SID34  | I <sub>DD29</sub>   | I <sup>2</sup> C 唤醒和 WDT 被启用                        | _   | 2.5 | 1   | μΑ | _      |  |  |
| 在深度睡眠模式  | 下,V <sub>DD</sub> = | V <sub>CCD</sub> = 1.71 V~1.89 V(旁路电压调 <sup>-</sup> | 节器) |     |     |    |        |  |  |
| SID37  | I <sub>DD32</sub>   | I <sup>2</sup> C 唤醒和 WDT 被启用                        | _   | 2.5 | -   | μΑ | _      |  |  |
| XRES 电流  | XRES 电流             |   |     |     |     |    |        |  |  |
| SID307   | I <sub>DD_XR</sub>  | 触发 XRES 时的供电电流                                      | -   | 115 | 300 | μΑ | _      |  |  |

## 表 3. 交流规范

| 规范 ID                | 参数                     | 说明           | 最小值 | 典型值 | 最大值 | 单位  | 详情 / 条件                   |
|----------------------|------------------------|--------------|-----|-----|-----|-----|---------------------------|
| SID48                | F <sub>CPU</sub>       | CPU 频率       | DC  | _   | 48  | MHz | $1.71 \le V_{DD} \le 5.5$ |
| SID49 <sup>[2]</sup> | T <sub>SLEEP</sub>     | 从睡眠模式唤醒的时间   | _   | 0   | _   | us  |                           |
| SID50 <sup>[2]</sup> | T <sub>DEEPSLEEP</sub> | 从深度睡眠模式唤醒的时间 | _   | 35  | _   | μδ  |                           |

**注释:** 2. 由出厂标准保证。



### **GPIO**

## 表 4. GPIO 直流规范

| 规范 ID                 | 参数                             | 说明   | 最小值                    | 典型值 | 最大值                  | 单位   | 详情/条件   |
|-----------------------|--------------------------------|--|------------------------|-----|----------------------|------|---|
| SID57                 | V <sub>IH</sub> <sup>[3]</sup> | 输入高电平阈值  | $0.7 \times V_{DDD}$   | ı   | _                    |      | CMOS 输入   |
| SID58                 | V <sub>IL</sub>                | 输入低电平阈值  | _                      | ı   | $0.3 \times V_{DDD}$ |      | CMOS 输入   |
| SID241                | V <sub>IH</sub> <sup>[3]</sup> | LVTTL 输入, V <sub>DDD</sub> < 2.7 V                   | $0.7 \times V_{DDD}$   | ı   | -                    |      | _   |
| SID242                | V <sub>IL</sub>                | LVTTL 输入, V <sub>DDD</sub> < 2.7 V                   | _                      | ı   | $0.3 \times V_{DDD}$ |      | _   |
| SID243                | V <sub>IH</sub> <sup>[3]</sup> | LVTTL 输入, V <sub>DDD</sub> ≥ 2.7 V                   | 2.0                    | ı   | -                    |      | _   |
| SID244                | V <sub>IL</sub>                | LVTTL 输入, V <sub>DDD</sub> ≥ 2.7 V                   | _                      | ı   | 0.8                  |      | _   |
| SID59                 | V <sub>OH</sub>                | 输出高电平电压  | V <sub>DDD</sub> – 0.6 | ı   | -                    | V    | V <sub>DDD</sub> = 3 V 时,<br>I <sub>OH</sub> = 4 mA   |
| SID60                 | V <sub>OH</sub>                | 输出高电平电压  | V <sub>DDD</sub> – 0.5 | ı   | -                    |      | V <sub>DDD</sub> = 1.8 V 时,<br>I <sub>OH</sub> = 1 mA |
| SID61                 | V <sub>OL</sub>                | 输出低电平电压  | -                      | 1   | 0.6                  |      | V <sub>DDD</sub> = 1.8 V 时,<br>I <sub>OL</sub> = 4 mA |
| SID62                 | V <sub>OL</sub>                | 输出低电平电压  | -                      | 1   | 0.6                  |      | V <sub>DDD</sub> = 3 V 时,<br>I <sub>OL</sub> = 10 mA  |
| SID62A                | V <sub>OL</sub>                | 输出低电平电压  | _                      | ı   | 0.4                  |      | V <sub>DDD</sub> = 3 V 时,<br>I <sub>OL</sub> = 3 mA   |
| SID63                 | R <sub>PULLUP</sub>            | 上拉电阻   | 3.5                    | 5.6 | 8.5                  | kΩ   | _   |
| SID64                 | R <sub>PULLDOWN</sub>          | 下拉电阻   | 3.5                    | 5.6 | 8.5                  | N3 2 | _   |
| SID65                 | I <sub>IL</sub>                | 输入漏电流(绝对值)   | _                      | ı   | 2                    | nA   |   |
| SID66                 | C <sub>IN</sub>                | 输入电容   | _                      | 3   | 7                    | pF   | _   |
| SID67 <sup>[4]</sup>  | V <sub>HYSTTL</sub>            | 输入迟滞 LVTTL   | 15                     | 40  | _                    |      | $V_{DDD} \ge 2.7 \text{ V}$                           |
| SID68 <sup>[4]</sup>  | V <sub>HYSCMOS</sub>           | 输入迟滞 CMOS  | $0.05 \times V_{DDD}$  | -   | _                    | mV   | V <sub>DD</sub> < 4.5 V                               |
| SID68A <sup>[4]</sup> | V <sub>HYSCMOS5V5</sub>        | 输入迟滞 CMOS 电平   | 200                    | ı   | _                    |      | V <sub>DD</sub> < 4.5 V                               |
| SID69 <sup>[4]</sup>  | I <sub>DIODE</sub>             | 通过保护二极管到达 V <sub>DD</sub> /V <sub>SS</sub> 的<br>导通电流 | -                      | ı   | 100                  | μΑ   | _   |
| SID69A <sup>[4]</sup> | I <sub>TOT_GPIO</sub>          | 芯片的最大总拉电流或灌电流  | _                      | _   | 85                   | mA   | _   |

## 表 5. GPIO 交流规范

(由出厂校准保证)

| 规范 ID | 参数                 | 说明            | 最小值 | 典型值 | 最大值 | 单位   | 详情/条件                                      |
|-------|--------------------|---------------|-----|-----|-----|------|--|
| SID70 | T <sub>RISEF</sub> | 快速强驱动模式下的上升时间 | 2   | _   | 12  |      | V <sub>DDD</sub> = 3.3 V,<br>Cload = 25 pF |
| SID71 | T <sub>FALLF</sub> | 快速强驱动模式下的下降时间 | 2   | -   | 12  | - ns | V <sub>DDD</sub> = 3.3 V,<br>Cload = 25 pF |
| SID72 | T <sub>RISES</sub> | 慢速强驱动模式下的上升时间 | 10  | _   | 60  | ns   | V <sub>DDD</sub> = 3.3 V,<br>Cload = 25 pF |

- V<sub>IH</sub> 不能超过 V<sub>DDD</sub> + 0.2 V。
   由出厂标准保证。



### 表 5. GPIO 交流规范

(由出厂校准保证) (续)

| 规范 ID  | 参数                   | 说明   | 最小值 | 典型值 | 最大值 | 单位  | 详情/条件                                      |
|--------|----------------------|--|-----|-----|-----|-----|--|
| SID73  | T <sub>FALLS</sub>   | 慢速强驱动模式下的下降时间  | 10  | -   | 60  | ns  | V <sub>DDD</sub> = 3.3 V,<br>Cload = 25 pF |
| SID74  | F <sub>GPIOUT1</sub> | GPIO 的输出频率 (F <sub>OUT</sub> ); 3.3 V<br>≤ V <sub>DDD</sub> ≤ 5.5 V<br>快速强驱动模式 | ı   | _   | 16  |     | 90/10%,<br>Cload = 25 pF,<br>60/40 占空比     |
| SID75  | F <sub>GPIOUT2</sub> | GPIO F <sub>OUT</sub> :<br>1.71 V ≤ V <sub>DDD</sub> ≤ 3.3 V<br>快速强驱动模式        | -   | -   | 16  |     | 90/10%,<br>Cload = 25 pF,<br>60/40 占空比     |
| SID76  | F <sub>GPIOUT3</sub> | GPIO F <sub>OUT</sub> :<br>3.3 V ≤ V <sub>DDD</sub> ≤ 5.5 V<br>慢速强驱动模式         | -   | -   | 7   | MHz | 90/10%,<br>Cload = 25 pF,<br>60/40 占空比     |
| SID245 | F <sub>GPIOUT4</sub> | GPIO F <sub>OUT</sub> :<br>1.71 V ≤ V <sub>DDD</sub> ≤ 3.3 V<br>慢速强驱动模式        | -   | -   | 3.5 |     | 90/10%,<br>Cload = 25 pF,<br>60/40 占空比     |
| SID246 | F <sub>GPIOIN</sub>  | GPIO 输入工作频率;<br>1.71 V ≤ V <sub>DDD</sub> ≤ 5.5 V                              | -   | _   | 16  |     | 90/10% V <sub>IO</sub>                     |

## XRES

## 表 6. XRES 直流规范

| 规范 ID                | 参数                   | 说明      | 最小值                  | 典型值                  | 最大值                  | 单位 | 详情 / 条件                                    |
|----------------------|----------------------|---------|----------------------|----------------------|----------------------|----|--|
| SID77                | V <sub>IH</sub>      | 输入高电平阈值 | $0.7 \times V_{DDD}$ | -                    | _                    | V  | CMOS 输入                                    |
| SID78                | V <sub>IL</sub>      | 输入低电平阈值 | _                    | _                    | $0.3 \times V_{DDD}$ | V  | CIVIOS 潮八                                  |
| SID79                | R <sub>PULLUP</sub>  | 上拉电阻    | _                    | 60                   | _                    | kΩ | _  |
| SID80                | C <sub>IN</sub>      | 输入电容    | _                    | 3                    | 7                    | pF | _  |
| SID81 <sup>[5]</sup> | V <sub>HYSXRES</sub> | 输入电压迟滞  | _                    | 05 * V <sub>DD</sub> | _                    | mV | V <sub>DD</sub> > 4.5 V 时,<br>典型迟滞为 200 mV |

## 表 7. XRES 交流规范

| 规范 ID                 | 参数                      | 说明          | 最小值 | 典型值 | 最大值 | 单位 | 详情/条件 |
|-----------------------|-------------------------|-------------|-----|-----|-----|----|-------|
| SID83 <sup>[5]</sup>  | T <sub>RESETWIDTH</sub> | 复位脉冲宽度      | 1   | -   | -   | μs | -     |
| BID194 <sup>[5]</sup> | T <sub>RESETWAKE</sub>  | 从复位释放到唤醒的时间 | _   | _   | 2.5 | ms | -     |

**注释:** 5. 由出厂校准保证。



# 模拟外设

## 表 8. CTB 运算放大器规范

| 规范 ID    | 参数                       | 说明   | 最小值   | 典型值  | 最大值                   | 单位  | 详情 / 条件  |
|----------|--------------------------|--|-------|------|-----------------------|-----|--|
| _        | I <sub>DD</sub>          | 运算放大器模块的电流,<br>无负载                                 | _     | -    | -                     | _   | -  |
| SID269   | I <sub>DD_HI</sub>       | 功耗 = 高   | _     | 1100 | 1850                  |     | _  |
| SID270   | I <sub>DD_MED</sub>      | 功耗 = 中   | _     | 550  | 950                   | μΑ  | _  |
| SID271   | I <sub>DD_LOW</sub>      | 功耗 = 低   | _     | 150  | 350                   |     | _  |
| _        | G <sub>BW</sub>          | 负载 = 20 pF,电流 = 0.1 mA<br>V <sub>DDA</sub> = 2.7 V |       |      |                       |     |  |
| SID272   | G <sub>BW_HI</sub>       | 功耗 = 高   | 6     | _    | 1                     |     | 输入和输出电压范围为 0.2 V ~ V <sub>DDA</sub> - 0.2 V    |
| SID273   | G <sub>BW_MED</sub>      | 功耗 = 中   | 3     | -    | I                     | MHz | 输入和输出电压范围为 0.2 V~V <sub>DDA</sub> - 0.2 V      |
| SID274   | G <sub>BW_LO</sub>       | 功耗 = 低   | _     | 1    | -                     |     | 输入和输出电压范围为<br>0.2 V ~ V <sub>DDA</sub> - 0.2 V |
| _        | I <sub>OUT_MAX</sub>     | V <sub>DDA</sub> = 2.7 V,<br>距电源轨 = 500 mV         |       |      |                       |     |  |
| SID275   | I <sub>OUT_MAX_HI</sub>  | 功耗 = 高   | 10    | _    | _                     |     | 输出电压范围为<br>0.5 V ~ V <sub>DDA</sub> -0.5 V     |
| SID276   | I <sub>OUT_MAX_MID</sub> | 功耗 = 中   | 10    | _    | _                     | mA  | 输出电压范围为<br>0.5 V ~ V <sub>DDA</sub> -0.5 V     |
| SID277   | I <sub>OUT_MAX_LO</sub>  | 功耗 = 低   | _     | 5    | -                     |     | 输出电压范围为<br>0.5 V ~ V <sub>DDA</sub> -0.5 V     |
| -        | I <sub>OUT</sub>         | V <sub>DDA</sub> = 1.71 V,<br>电源电压 = 500 mV        |       |      |                       |     |  |
| SID278   | I <sub>OUT_MAX_HI</sub>  | 功耗 = 高   | 4     | _    | _                     |     | 输出电压范围为<br>0.5 V ~ V <sub>DDA</sub> -0.5 V     |
| SID279   | I <sub>OUT_MAX_MID</sub> | 功耗 = 中   | 4     | _    | _                     | mA  | 输出电压范围为<br>0.5 V ~ V <sub>DDA</sub> -0.5 V     |
| SID280   | I <sub>OUT_MAX_LO</sub>  | 功耗 = 低   | _     | 2    | _                     |     | 输出电压范围为<br>0.5 V ~ V <sub>DDA</sub> -0.5 V     |
| _        | I <sub>DD_Int</sub>      | 运算放大器模块的电流,<br>内部负载                                |       |      |                       |     |  |
| SID269_I | I <sub>DD_HI_Int</sub>   | 功耗 = 高   | _     | 1500 | 1700                  | μΑ  | _  |
| SID270_I | I <sub>DD_MED_Int</sub>  | 功耗 = 中   | _     | 700  | 900                   |     | -  |
|          | G <sub>BW</sub>          | V <sub>DDA</sub> = 2.7 V                           |       |      |                       |     | 1  |
| SID272_I | G <sub>BW_HI_Int</sub>   | 功耗 = 高   | 8     | -    | _                     | MHz | 输出电压范围为<br>0.25 V ~ V <sub>DDA</sub> -0.25 V   |
| -        | _                        | 适用于内部和外部负载模式的                                      | 通用运算  | 放大器规 | 范                     |     |  |
| SID281   | V <sub>IN</sub>          | 电荷泵被启用,<br>V <sub>DDA</sub> = 2.7 V                | -0.05 | _    | V <sub>DDA</sub> -0.2 | ,,, | -  |
| SID282   | V <sub>CM</sub>          | 电荷泵被启用,<br>V <sub>DDA</sub> = 2.7 V                | -0.05 | _    | V <sub>DDA</sub> -0.2 | V   | -  |



## 表 8. CTB 运算放大器规范 (续)

| 规范 ID   | 参数                    | 说明  | 最小值                 | 典型值   | 最大值                   | 单位      | 详情/条件   |
|---------|-----------------------|---|---------------------|-------|-----------------------|---------|---|
| SID283  | V <sub>OUT_1</sub>    | 功耗 = 高, lload = 10 mA                             | 0.5                 | _     | V <sub>DDA</sub> -0.5 |         | V <sub>DD</sub> = 2.7 V   |
| SID284  | V <sub>OUT_2</sub>    | 功耗 = 高, lload = 1 mA                              | 0.2                 | _     | V <sub>DDA</sub> -0.2 | V       | V <sub>DD</sub> = 2.7 V   |
| SID285  | V <sub>OUT_3</sub>    | 功耗 = 中, lload = 1 mA                              | 0.2                 | _     | V <sub>DDA</sub> -0.2 | V       | V <sub>DD</sub> = 2.7 V   |
| SID286  | V <sub>OUT_4</sub>    | 功耗 = 低, lload = 0.1 mA                            | 0.2                 | _     | V <sub>DDA</sub> -0.2 |         | V <sub>DD</sub> = 2.7 V   |
| SID288  | V <sub>OS_TR</sub>    | 校准后的偏移电压  | -1.0                | ±0.5  | 1.0                   |         | 高功耗模式,输入电压范围<br>为0V~V <sub>DDA</sub> -0.2V  |
| SID288A | V <sub>OS_TR</sub>    | 校准后的偏移电压  | _                   | ±1    | -                     | mV      | 中等功耗模式,输入电压范<br>围为0V~V <sub>DDA</sub> -0.2V                                       |
| SID288B | V <sub>OS_TR</sub>    | 校准后的偏移电压  | _                   | ±2    | -                     |         | 低功耗模式,输入电压范围为0V~V <sub>DDA</sub> -0.2V  |
| SID290  | V <sub>OS_DR_TR</sub> | 校准后的偏移电压漂移  | -10                 | ±3    | 10                    | μV/C    | 高功耗模式   |
| SID290A | V <sub>OS_DR_TR</sub> | 校准后的偏移电压漂移  | -                   | ±10   | _                     | //C     | 中等功耗模式  |
| SID290B | V <sub>OS_DR_TR</sub> | 校准后的偏移电压漂移  | -                   | ±10   | -                     | μV/C    | 低功耗模式   |
| SID291  | CMRR                  | 直流电流  | 70                  | 80    | Ι                     | dB      | 输入电压范围为 0 V ~ V <sub>DDA</sub> -0.2 V,输出电压范围<br>为 0.2 V ~ V <sub>DDA</sub> -0.2 V |
| SID292  | PSRR                  | 工作频率为 1 kHz,<br>纹波电压为 10 mV                       | 70                  | 85    | 1                     | ив      | V <sub>DDD</sub> = 3.6 V, 高功耗模式,<br>输入电压范围为<br>0.2 V ~ V <sub>DDA</sub> -0.2 V    |
| _       | 噪声                    |   |                     |       |                       |         |   |
| SID294  | VN2                   | 输入端推算,频率 = 1 kHz,<br>功耗 = 高                       | 1                   | 72    | -                     |         | 输入和输出电压范围为 0.2 V ~ V <sub>DDA</sub> -0.2 V  |
| SID295  | VN3                   | 输入端推算,<br>频率 = 10 kHz, 功耗 = 高                     | 1                   | 28    | -                     | nV/rtHz | 输入和输出电压范围为 0.2 V ~ V <sub>DDA</sub> -0.2 V  |
| SID296  | VN4                   | 输入端推算,<br>频率 = 100 kHz,功耗 = 高                     | -                   | 15    | _                     |         | 输入和输出电压范围为<br>0.2 V ~ V <sub>DDA</sub> -0.2 V                                     |
|         |                       |   |                     | 1     |                       |         | Γ   |
| SID297  | C <sub>LOAD</sub>     | 稳定状态下的最大负载。<br>但性能指标在 <b>50 pF</b> 时定义。           | -                   | _     | 125                   | pF      | -   |
| SID298  | Slew_rate             | Cload = 50 pF,功耗 = 高,<br>V <sub>DDA</sub> = 2.7 V | 6                   | _     | _                     | V/µs    | -   |
| SID299  | T_OP_WAKE             | 运算放大器从禁用到使能的<br>时间,无外部 RC 电路支配                    | -                   | _     | 25                    | μs      | _   |
| SID299A | OL_GAIN               | 开环增益  | -                   | 90    | _                     | dB      |   |
| _       | COMP_MODE             | 比较器模式; 50 mV 驱动, 7                                | $T_{rise} = T_{fa}$ | ∥(近似值 | Ĺ)                    | 1       |   |
| SID300  | TPD1                  | 响应时间;功耗=高   | _                   | 150   | 175                   |         | 输入电压范围为<br>0.2 V ~ V <sub>DDA</sub> -0.2 V  |
| SID301  | TPD2                  | 响应时间;功耗=中   | _                   | 500   | _                     | ns      | 输入电压范围为<br>0.2 V ~ V <sub>DDA</sub> -0.2 V  |
| SID302  | TPD3                  | 响应时间;功耗=低   | ı                   | 2500  | _                     |         | 输入电压范围为<br>0.2 V ~ V <sub>DDA</sub> -0.2 V  |
| SID303  | VHYST_OP              | 迟滞  | -                   | 10    | _                     | mV      | _   |
| SID304  | WUP_CTB               | CTB 从使能到可用的唤醒时间                                   | -                   | _     | 25                    | μs      | _   |



## 表 8. CTB 运算放大器规范 (续)

| 规范 ID     | 参数                     | 说明            | 最小值  | 典型值  | 最大值      | 单位          | 详情/条件  |
|-----------|------------------------|---------------|------|------|----------|-------------|--|
| _         | 深度睡眠模式                 | 模式2具有最低电流范围。模 | 式1具有 | 更高的增 | 益带宽 (GB\ | <b>N</b> )。 |  |
| SID_DS_1  | I <sub>DD_HI_M1</sub>  | 模式 1,高电流      | ı    | 1400 | 1        |             |  |
| SID_DS_2  | I <sub>DD_MED_M1</sub> | 模式 1,中等电流     | ı    | 700  | 1        | μA          |  |
| SID_DS_3  | I <sub>DD_LOW_M1</sub> | 模式 1, 低电流     | ı    | 200  | ı        |             |  |
| SID_DS_4  | I <sub>DD_HI_M2</sub>  | 模式 2, 高电流     | ı    | 120  | ı        |             |  |
| SID_DS_5  | I <sub>DD_MED_M2</sub> | 模式 2,中等电流     | -    | 60   | -        | μΑ          |  |
| SID_DS_6  | I <sub>DD_LOW_M2</sub> | 模式 2, 低电流     | -    | 15   | _        |             |  |
| SID_DS_7  | G <sub>BW_HI_M1</sub>  | 模式 1, 高电流     | ı    | 4    | ı        |             | 20 pF 负载,<br>无直流负载, 电压范围为<br>0.2 V ~ V <sub>DDA</sub> -0.2 V |
| SID_DS_8  | G <sub>BW_MED_M1</sub> | 模式 1,中等电流     | -    | 2    | -        | MHz         | 20 pF 负载,<br>无直流负载,电压范围为<br>0.2 V ~ V <sub>DDA</sub> -0.2 V  |
| SID_DS_9  | G <sub>BW_LOW_M!</sub> | 模式 1, 低电流     | -    | 0.5  | -        |             | 20 pF 负载,<br>无直流负载,电压范围为<br>0.2 V ~ V <sub>DDA</sub> -0.2 V  |
| SID_DS_10 | G <sub>BW_HI_M2</sub>  | 模式 2, 高电流     | I    | 0.5  | I        |             | 20 pF 负载,<br>无直流负载, 电压范围为<br>0.2 V ~ V <sub>DDA</sub> -0.2 V |
| SID_DS_11 | G <sub>BW_MED_M2</sub> | 模式 2,中等电流     | -    | 0.2  | -        |             | 20 pF 负载,<br>无直流负载, 电压范围为<br>0.2 V ~ V <sub>DDA</sub> -0.2 V |
| SID_DS_12 | G <sub>BW_Low_M2</sub> | 模式 2, 低电流     | -    | 0.1  | -        |             | 20 pF 负载,无直流负载,<br>电压范围为<br>0.2 V ~ V <sub>DDA</sub> -0.2 V  |
| SID_DS_13 | V <sub>OS_HI_M1</sub>  | 模式 1,高电流      | -    | 5    | _        |             | 在 25°C 下校准, 电压范围<br>为 0.2 V ~ V <sub>DDA</sub> -1.5 V        |
| SID_DS_14 | V <sub>OS_MED_M1</sub> | 模式 1,中等电流     | -    | 5    | -        |             | 在 25°C 下校准, 电压范围<br>为 0.2 V ~ V <sub>DDA</sub> -1.5 V        |
| SID_DS_15 | V <sub>OS_LOW_M2</sub> | 模式 1, 低电流     | I    | 5    | I        | m\/         | 在 25°C 下校准,电压范围<br>为 0.2 V ~ V <sub>DDA</sub> -1.5 V         |
| SID_DS_16 | V <sub>OS_HI_M2</sub>  | 模式 2, 高电流     | _    | 5    |          | mV          | 在 25°C 下校准, 电压范围<br>为 0.2 V ~ V <sub>DDA</sub> -1.5 V        |
| SID_DS_17 | V <sub>OS_MED_M2</sub> | 模式 2, 中等电流    | _    | 5    | _        |             | 在 25°C 下校准, 电压范围<br>为 0.2 V ~ V <sub>DDA</sub> -1.5 V        |
| SID_DS_18 | V <sub>OS_LOW_M2</sub> | 模式 2, 低电流     | -    | 5    | _        |             | 在 25°C 下校准, 电压范围<br>为 0.2 V ~ V <sub>DDA</sub> -1.5 V        |



## 表 8. CTB 运算放大器规范 (续)

| 规范 ID     | 参数                      | 说明        | 最小值 | 典型值 | 最大值 | 单位 | 详情/条件                                      |
|-----------|-------------------------|-----------|-----|-----|-----|----|--|
| SID_DS_19 | I <sub>OUT_HI_M!</sub>  | 模式 1, 高电流 | _   | 10  | I   |    | 输出电压范围为<br>0.5 V ~ V <sub>DDA</sub> -0.5 V |
| SID_DS_20 | I <sub>OUT_MED_M1</sub> | 模式 1,中等电流 | _   | 10  | -   |    | 输出电压范围为<br>0.5 V ~ V <sub>DDA</sub> -0.5 V |
| SID_DS_21 | I <sub>OUT_LOW_M1</sub> | 模式 1, 低电流 | _   | 4   | -   | mA | 输出电压范围为<br>0.5 V ~ V <sub>DDA</sub> -0.5 V |
| SID_DS_22 | I <sub>OUT_HI_M2</sub>  | 模式 2, 高电流 | _   | 1   | ı   |    | _  |
| SID_DS_23 | I <sub>OU_MED_M2</sub>  | 模式 2,中等电流 | _   | 1   | -   |    | _  |
| SID_DS_24 | I <sub>OU_LOW_M2</sub>  | 模式 2, 低电流 | _   | 0.5 | _   |    | _  |

### 表 9. PGA 规范

| 规范 ID     | 参数        | 说明                 | 最小值 | 典型值 | 最大值 | 单位 | 详情/条件 |
|-----------|-----------|--------------------|-----|-----|-----|----|-------|
| PGA 增益值   | _         | 增益值可能为 2、4、16 或 32 | 2   | 1   | 32  | -  |       |
|           |           | 低范围的增益误差;增益=2      | _   | 1   | ı   | %  |       |
| SID_PGA_1 | PGA_ERR_1 | 中等范围的增益误差;增益=2     | _   | 1   | 1.5 | %  |       |
|           |           | 高范围的增益误差;增益=2      | _   | _   | 1.5 | %  |       |
|           |           | 低范围的增益误差;增益=4      | _   | 1   | -   | %  |       |
| SID_PGA_2 | PGA_ERR_2 | 中等范围的增益误差;增益=4     | _   | _   | 1.5 | %  |       |
|           |           | 高范围的增益误差;增益=4      | _   | _   | 1.5 | %  |       |
|           |           | 低范围的增益误差;增益 = 16   | _   | 3   | -   | %  |       |
| SID_PGA_3 | PGA_ERR_3 | 中等范围的增益误差;增益 = 16  | _   | 3   | -   | %  |       |
|           |           | 高范围的增益误差;增益 = 16   | _   | 3   | -   | %  |       |
|           |           | 低范围的增益误差;增益 = 32   | _   | 5   | -   | %  |       |
| SID_PGA_4 | PGA_ERR_4 | 中等范围的增益误差;增益 = 32  | _   | 5   | -   | %  |       |
|           |           | 高范围的增益误差;增益 = 32   | _   | 5   | _   | %  |       |

6. 由出厂标准保证。



## Table 10. 电压 DAC 规范

| Spec ID#   | 参数         | 说明             | 最小值  | 典型值            | 最大值                    | 单位  | 详情/条件   |
|------------|------------|----------------|------|----------------|------------------------|-----|---|
| 13-bit DAC |            | 差分输出           |      |                |                        |     |   |
| SID_DAC_1  | INL_MDAC1  | 积分非线性(INL)     | _    | +5,–6          | -                      | LSB |   |
| SID_DAC_2  | DNL_MDAC1  | 微分非线性 (DNL)    | -    | +3.5,<br>-0.75 | -                      | LOD |   |
| SID_DAC_3  | VOUT_MDAC1 | 输出电压范围         | 0.01 | ı              | V <sub>DDA</sub> -0.01 | V   | 有效输出范围为电源电压<br>到 100 LSB 从 100 mV 到<br>电源电压的全稳定带宽 |
| SID_DAC_4  | VOS_MDAC1  | 零刻度误差 (输出全零输入) | _    | 5              | -                      | mV  | 零量程是对于模拟接地得<br>到的                                 |
| SID_DAC_5  | GE_MDAC1   | 满量程误差减去偏移      | _    | I              | 0.4                    | %   | _   |
| SID_DAC_6  | IDD_MMDAC1 | 模块电流           | _    | 2.5            | -                      | mA  | _   |
| SID_DAC_7  | PSRR_MDAC1 | 电源抑制比          | _    | 60             | ı                      | dB  | -   |
| SID_DAC_8  | WUP_MDAC1  | 从使能到可用的唤醒时间    | _    | 25             | -                      | μs  | 工作于 500 ksps                                      |
| SID_DAC_9  | TS_MDAC1   | DAC 的建立时间      | _    | _              | 2                      | μs  | _   |

## 表 11. 比较器直流规范

| 规范 ID   | 参数                   | 说明             | 最小值 | 典型值 | 最大值                     | 单位    | 详情/条件   |
|---------|----------------------|----------------|-----|-----|-------------------------|-------|---|
| SID84   | V <sub>OFFSET1</sub> | 输入偏移电压, 出厂校准值  | _   | 1   | ±10                     |       | _   |
| SID85   | V <sub>OFFSET2</sub> | 输入偏移电压, 自定义校准  | _   | 1   | ±4                      | mV    | _   |
| SID86   | V <sub>HYST</sub>    | 迟滞(当使能时)       | _   | 10  | 35                      |       | _   |
| SID87   | V <sub>ICM1</sub>    | 正常运行模式下的共模输入电压 | 0   | 1   | V <sub>DDD</sub> –0.1   |       | 模式1和2   |
| SID247  | V <sub>ICM2</sub>    | 低功耗模式下的共模输入电压  | 0   | -   | $V_{DDD}$               | V     | _   |
| SID247A | V <sub>ICM3</sub>    | 超低功耗模式下的共模输入电压 | 0   | ı   | V <sub>DDD</sub> – 1.15 |       | 温度 < 0 °C 时,V <sub>DDD</sub> ≥ 2.2 V;<br>温度 > 0 °C 时,V <sub>DDD</sub> ≥ 1.8 V   |
| SID88   | C <sub>MRR</sub>     | 共模抑制比          | 50  | -   | -                       | dB    | V <sub>DDD</sub> ≥ 2.7 V  |
| SID88A  | C <sub>MRR</sub>     | 共模抑制比          | 42  | -   | _                       | uБ    | V <sub>DDD</sub> ≤ 2.7 V  |
| SID89   | I <sub>CMP1</sub>    | 正常运行模式下的模块电流   | -   | -   | 400                     |       | -   |
| SID248  | I <sub>CMP2</sub>    | 低功耗模式下的模块电流    | -   | -   | 100                     | μA    | -   |
| SID259  | I <sub>CMP3</sub>    | 超低功耗模式下的模块电流   | _   | _   | 28                      | h., , | 温度 < 0 °C 时, V <sub>DDD</sub> ≥ 2.2 V;<br>温度 > 0 °C 时, V <sub>DDD</sub> ≥ 1.8 V |
| SID90   | Z <sub>CMP</sub>     | 比较器的直流输入阻抗     | 35  | _   | -                       | ΜΩ    | _   |



## 表 12. 比较器交流规范

| 规范 ID  | 参数     | 说明                     | 最小值 | 典型值 | 最大值 | 单位 | 详情 / 条件   |
|--------|--------|------------------------|-----|-----|-----|----|---|
| SID91  | TRESP1 | 响应时间,正常运行模式, 50 mV 超压  | 1   | 38  | 110 | ns | 所有 V <sub>DD</sub>  |
| SID258 | TRESP2 | 响应时间,低功耗模式, 50 mV 超压   | -   | 70  | 200 |    | -   |
| SID92  | TRESP3 | 响应时间,超低功耗模式, 200 mV 超压 | ı   | 2.3 | 15  | μs | 温度 < 0 °C 时,V <sub>DDD</sub> ≥ 2.2 V;<br>温度 > 0 °C 时,V <sub>DDD</sub> ≥ 1.8 V |

## 表 13. 温度传感器规范

| 规范 ID | 参数       | 说明       | 最小值        | 典型值 | 最大值 | 单位 | 详情/条件        |
|-------|----------|----------|------------|-----|-----|----|--------------|
| SID93 | TSENSACC | 温度传感器准确度 | <b>–</b> 5 | ±1  | 5   | °C | −40 ~ +85 °C |

## 表 14. SAR ADC 规范

| 规范 ID   | 参数        | 说明   | 最小值             | 典型值 | 最大值       | 单位   | 详情 / 条件                                     |
|---------|-----------|--|-----------------|-----|-----------|------|---|
| SAR ADC | 直流规范      |  |                 |     |           |      |   |
| SID94   | A_RES     | 分辨率  | _               | _   | 12        | 位    |   |
| SID95   | A_CHNLS_S | 单端通道数量   | _               | _   | 8         |      | 8 个全速通道                                     |
| SID96   | A-CHNKS_D | 差分通道数量   | _               | _   | 4         |      |   |
| SID97   | A-MONO    | 单调性  | _               | _   | -         |      | 有   |
| SID98   | A_GAINERR | 增益误差   | _               | _   | ±0.1      | %    | 使用外部参考电压                                    |
| SID99   | A_OFFSET  | 输入偏移电压   | _               | _   | 2         | mV   | 在11的参考电压测量得到                                |
| SID100  | A_ISAR    | 电流消耗   | _               | _   | 1         | mA   |   |
| SID101  | A_VINS    | 单端输入电压范围   | V <sub>SS</sub> | _   | $V_{DDA}$ | V    |   |
| SID102  | A_VIND    | 差分输入电压范围   | V <sub>SS</sub> | _   | $V_{DDA}$ | V    |   |
| SID103  | A_INRES   | 输入电阻   | _               | _   | 2.2       | ΚΩ   |   |
| SID104  | A_INCAP   | 输入电容   | _               | _   | 10        | рF   |   |
| SID260  | VREFSAR   | 校准后的 SAR 内部参考值偏差   | _               | _   | TBD       | V    |   |
| SAR ADC | 交流规范      |  |                 |     |           |      |   |
| SID106  | A_PSRR    | 电源抑制比  | 70              | _   | _         | dB   |   |
| SID107  | A_CMRR    | 共模抑制比  | 66              | _   | -         | dB   | 在电压为1V时测量得到                                 |
| SID108  | A_SAMP    | 采样率  | _               | _   | 1         | Msps |   |
| SID109  | A_SNR     | 信噪比和失真比 (SINAD)  | 65              | _   | -         | dB   | F <sub>IN</sub> = 10 kHz                    |
| SID110  | A_BW      | 无混叠输入带宽  | _               | _   | A_samp/2  | kHz  |   |
| SID111  | A_INL     | 积分非线性。 V <sub>DD</sub> = 1.71~ 5.5 V,<br>比特率为 1 Msps     | -1.7            | _   | 2         | LSB  | V <sub>REF</sub> = 1 V~ V <sub>DD</sub>     |
| SID111A | A_INL     | 积分非线性。V <sub>DDD</sub> = 1.71 V ~ 3.6 V,<br>比特率为 1 Msps  | -1.5            | _   | 1.7       | LSB  | V <sub>REF</sub> = 1.71 V ~ V <sub>DD</sub> |
| SID111B | A_INL     | 积分非线性。V <sub>DD</sub> = 1.71 V ~ 5.5 V,<br>比特率为 500 Ksps | -1.5            | _   | 1.7       | LSB  | V <sub>REF</sub> = 1 V~ V <sub>DD</sub>     |
| SID112  | A_DNL     | 微分非线性。V <sub>DD</sub> = 1.71 V ~ 5.5 V,<br>比特率为 1 Msps   | -1              | -   | 2.2       | LSB  | V <sub>REF</sub> = 1 V ~ V <sub>DD</sub>    |
| SID112A | A_DNL     | 微分非线性。V <sub>DD</sub> = 1.71 V ~ 3.6 V,<br>比特率为 1 Msps   | <b>–</b> 1      |     | 2         | LSB  | V <sub>REF</sub> = 1.71 V ~ V <sub>DD</sub> |



## 表 14. SAR ADC 规范 (续)

| 规范 ID   | 参数         | 说明   | 最小值       | 典型值 | 最大值             | 单位   | 详情/条件                       |
|---------|------------|--|-----------|-----|-----------------|------|-----------------------------|
| SID112B |            | 微分非线性。V <sub>DD</sub> = 1.71 V ~ 5.5 V,<br>比特率为 500 Ksps | <b>–1</b> | -   | 2.2             | LSB  | $V_{REF} = 1 V \sim V_{DD}$ |
| SID113  | A_THD      | 总谐波失真  | 1         | _   | <del>-</del> 65 | dB   | F <sub>IN</sub> = 10 kHz    |
| SID261  | Fsarintref | 没有外部参考旁路的 SAR 工作速度                                       | _         | -   | 100             | ksps | 12 位分辨率                     |

# 表 15. CapSense 和 IDAC 的规范 [7]

| 规范 ID       | 参数             | 说明                            | 最小值        | 典型值 | 最大值                    | 单位  | 详情/条件  |
|-------------|----------------|-------------------------------|------------|-----|------------------------|-----|--|
| SYS.PER#3   | VDD_RIPPLE     | 电源的最大允许纹波,<br>直流至 10 MHz      | ı          | _   | ±50                    | mV  | V <sub>DD</sub> > 2 V (包括纹波),<br>T <sub>A</sub> = 25 °C,灵敏度 = 0.1 pF                         |
| SYS.PER#16  | VDD_RIPPLE_1.8 | 电源的最大允许纹波,<br>直流至 10MHz       | -          | _   | ±25                    | mV  | V <sub>DD</sub> > 1.75 V (包括纹波),<br>T <sub>A</sub> = 25 °C,寄生电容 (CP)<br>< 20 pF,灵敏度 ≥ 0.4 pF |
| SID.CSD.BLK | ICSD           | 最大模块电流                        |            |     | 4000                   | μΑ  |  |
| SID.CSD#15  | VREF           | CSD 和比较器的参考电源                 | 0.6        | 1.2 | V <sub>DDA</sub> - 0.6 | V   | V <sub>DDA</sub> - 0.6 或 4.4<br>(选择较低的值)   |
| SID.CSD#15A | VREF_EXT       | CSD和比较器的外部参考电源                | 0.6        |     | V <sub>DDA</sub> - 0.6 | V   | V <sub>DDA</sub> - 0.6 或 4.4<br>(选择较低的值)   |
| SID.CSD#16  | IDAC1IDD       | IDAC1 (7 位 ) 模块电流             | _          | _   | 1750                   | μΑ  |  |
| SID.CSD#17  | IDAC2IDD       | IDAC2 (7 位 ) 模块电流             | _          | _   | 1750                   | μΑ  |  |
| SID308      | VCSD           | 工作电压范围                        | 1.71       | _   | 5.5                    | V   | 1.8 V ±5% 或 1.8 V 到 5.5 V  |
| SID308A     | VCOMPIDAC      | IDAC 的合规电压范围                  | 0.6        | -   | V <sub>DDA</sub> - 0.6 | V   | V <sub>DDA</sub> - 0.6 或 4.4<br>(选择较低的值)   |
| SID309      | IDAC1DNL       | DNL                           | -1         | _   | 1                      | LSB |  |
| SID310      | IDAC1INL       | INL                           | -3         | _   | 3                      | LSB |  |
| SID311      | IDAC2DNL       | DNL                           | <b>–</b> 1 | _   | 1.0                    | LSB |  |
| SID312      | IDAC2INL       | INL                           | -3         | _   | 3                      | LSB |  |
| SID313      | SNR            | 手指信号与噪声的比率。<br>通过出厂校准保证       | 5.0        | _   | 1                      | 比率  | 电容值范围 = 5 ~ 200 pF,<br>灵敏度 = 0.1 pF。所有使用<br>场合。 V <sub>DDA</sub> > 2 V。                      |
| SID314      | IDAC7_SRC1     | 在低范围时7位IDAC的最大源电流             | 4.2        |     | 5.4                    | μΑ  | LSB = 37.5 nA ( 典型值 )  |
| SID314A     | IDAC7_SRC2     | 在中等范围时 7 位 IDAC 的<br>最大源电流    | 34         |     | 41                     | μA  | LSB = 300 nA ( 典型值 )   |
| SID314B     | IDAC7_SRC3     | 在高范围时7位IDAC的最大源<br>电流         | 275        |     | 330                    | μΑ  | LSB = 2.4 μA ( 典型值 )   |
| SID314C     | IDAC7_SRC4     | 在低范围时7位IDAC的最大源电流, 2X 模式      | 8          |     | 10.5                   | μΑ  | LSB = 37.5 nA ( 典型值 ),<br>2X 输出阶段  |
| SID314D     | IDAC7_SRC5     | 在中等范围时 7 位 IDAC 的最大源电流, 2X 模式 | 69         |     | 82                     | μΑ  | LSB = 300 nA ( 典型值 ),<br>2X 输出阶段   |
| SID314E     | IDAC7_SRC6     | 在高范围时7位IDAC的最大源<br>电流,2X模式    | 540        |     | 660                    | μΑ  | LSB = 2.4 μA ( 典型值 ),<br>2X 输出阶段   |
| SID315      | IDAC7_SINK_1   | 在低范围时7位IDAC的最大灌电流             | 4.2        |     | 5.7                    | μA  | LSB = 37.5 nA ( 典型值 )  |

#### 注释:

7. 为了获得最佳 CapSense 性能,端口 0,4 和 5 必须用于大直流负载。



# 表 15. CapSense 和 IDAC 的规范 [7] (续)

| 规范 ID   | 参数            | 说明                              | 最小值 | 典型值 | 最大值  | 单位  | 详情/条件                             |
|---------|---------------|---------------------------------|-----|-----|------|-----|-----------------------------------|
| SID315A | IDAC7_SINK_2  | 在中等范围时 7 位 IDAC 的最大灌电流          | 34  |     | 44   | μA  | LSB = 300 nA ( 典型值 )              |
| SID315B | IDAC7_SINK_3  | 在高范围时7位IDAC的最大灌电流               | 260 |     | 340  | μA  | LSB = 2.4 μA ( 典型值 )              |
| SID315C | IDAC7_SINK_4  | 在低范围时7位IDAC的最大灌电流,2X模式          | 8   |     | 11.5 | μA  | LSB = 37.5 nA ( 典型值 ),<br>2X 输出阶段 |
| SID315D | IDAC7_SINK_5  | 在中等范围时 7 位 IDAC 的最大灌电流, 2X 模式   | 68  |     | 86   | μA  | LSB = 300 nA ( 典型值 ),<br>2X 输出阶段  |
| SID315E | IDAC7_SINK_6  | 在高范围时7位IDAC的最大灌电流,2X模式          | 540 |     | 700  | μA  | LSB = 2.4 μA ( 典型值 ),<br>2X 输出阶段  |
| SID315F | IDAC8_SRC_1   | 在低范围时8位IDAC的最大源<br>电流           | 8.4 |     | 10.8 | μA  | LSB = 37.5 nA ( 典型值 )             |
| SID315G | IDAC8_SRC_2   | 在中等范围时 8 位 IDAC 的最大源电流          | 68  |     | 82   | μA  | LSB = 300 nA ( 典型值 )              |
| SID315H | IDAC8_SRC_3   | 在高范围时8位IDAC的最大源<br>电流           | 550 |     | 680  | μA  | LSB = 2.4 μA ( 典型值 )              |
| SID315J | IDAC8_SINK_1  | 在低范围时8位IDAC的最大灌电流               | 8.4 |     | 11.4 | μA  | LSB = 37.5 nA ( 典型值 )             |
| SID315K | IDAC8_SINK_2  | 在中等范围时 8 位 IDAC 的最大灌电流          | 68  |     | 88   | μA  | LSB = 300 nA ( 典型值 )              |
| SID315L | IDAC8_SINK_3  | 在高范围时8位IDAC的最大灌<br>电流           | 540 |     | 670  | μA  | LSB = 2.4 μA ( 典型值 )              |
| SID320  | IDACOFFSET1   | 全零的输入;<br>中等和高范围                | -   | -   | 1    | LSB | 由源电流或灌电流设置的极性                     |
| SID320A | IDACOFFSET2   | 全零的输入; 低范围                      | _   | _   | 2    | LSB | 由源电流或灌电流设置的极性                     |
| SID321  | IDACGAIN      | 满量程错误减去偏移                       | _   | _   | ±20  | %   |                                   |
| SID322  | IDACMISMATCH1 | IDAC1和IDAC2在低功耗模式<br>下的差异       | _   | _   | 9.2  | LSB | LSB = 37.5 nA ( 典型值 )             |
| SID322A | IDACMISMATCH2 | IDAC1和IDAC2在中等功耗模式下的差异          | _   | _   | 6    | LSB | LSB = 300 nA ( 典型值 )              |
| SID322B | IDACMISMATCH3 | IDAC1和IDAC2在高功耗模式下的差异           | -   | -   | 6.8  | LSB | LSB = 2.4 μA ( 典型值 )              |
| SID323  | IDACSET8      | 8 位 IDAC 达到 0.5 LSB 所需的<br>建立时间 | -   | _   | 10   | μs  | 满量程跃变。无外部负载。                      |
| SID324  | IDACSET7      | 7位 IDAC 达到 0.5 LSB 所需的建立时间      | -   | _   | 10   | μs  | 满量程跃变。无外部负载。                      |
| SID325  | CMOD          | 外部调制器电容                         | -   | 2.2 | 1    | nF  | 5 V 的额定电压, X7R 或 NP0<br>电容。       |



# 表 16. 10 位 CapSense ADC 规范

| 规范 ID    | 参数        | 说明  | 最小值       | 典型值 | 最大值       | 单位  | 详情/条件                                 |
|----------|-----------|---|-----------|-----|-----------|-----|---------------------------------------|
| SIDA94   | A_RES     | 分辨率   | -         | _   | 10        | 位   | 8 个全速通道。                              |
| SID95    | A_CHNLS_S | 单端通道数量  | _         | _   | 16        |     | 差分输入使用相邻 I/O                          |
| SIDA97   | A-MONO    | 单调性   | ı         | -   | _         | 有   | 有                                     |
| SIDA98   | A_GAINERR | 增益误差  | -         | _   | 待定        | %   | 使用外部参考电压。                             |
| SIDA99   | A_OFFSET  | 输入偏移电压  | _         | _   | 待定        | mV  | 用 1 V 的参考电压<br>测量得到。                  |
| SIDA100  | A_ISAR    | 电流消耗  | -         | _   | 待定        | mA  |                                       |
| SIDA101  | A_VINS    | 单端输入电压范围  | $V_{SSA}$ | _   | $V_{DDA}$ | V   |                                       |
| SIDA103  | A_INRES   | 输入电阻  | _         | 2.2 | _         | ΚΩ  |                                       |
| SIDA104  | A_INCAP   | 输入电容  | _         | 20  | _         | pF  |                                       |
| SIDA106  | A_PSRR    | 电源抑制比   | 待定        | _   | _         | dB  |                                       |
| SIDA107  | A_TACQ    | 样本采集时间  | Ī         | 1   | _         | μs  |                                       |
| SIDA108  | A_CONV8   | 转换速率为 Fhclk/(2^(N+2)) 时 8位分辨率的转换时间时钟频率为48 MHz。        | -         | -   | 21.3      | μs  | 不包括采集时间。<br>等于 44.8 ksps<br>(包括采集时间)。 |
| SIDA108A | A_CONV10  | 转换速率为 Fhclk/(2^(N+2)) 时 10 位分辨率 的转换时间时钟频率为 48 MHz。    | -         | 1   | 85.3      | μs  | 不包括采集时间。<br>等于 11.6 ksps<br>(包括采集时间)。 |
| SIDA109  | A_SND     | 信噪比和失真比 (SINAD)                                       | 待定        | -   | -         | dB  |                                       |
| SIDA110  | A_BW      | 无混叠输入带宽   |           | _   | 22.4      | kHz | 8 位分辨率                                |
| SIDA111  | A_INL     | 积分非线性。 V <sub>DD</sub> = 1.71 ~ 5.5 V,<br>比特率为 1 ksps | _         | -   | 2         | LSB | V <sub>REF</sub> = 2.4 V 或<br>更高的值    |
| SIDA112  | A_DNL     | 微分非线性。 V <sub>DD</sub> = 1.71 ~ 5.5 V,<br>比特率为 1 ksps | _         | _   | 1         | LSB |                                       |



## 数字外设

定时器/计数器/脉宽调制器(TCPWM)

## 表 17. TCPWM 规范

| 规范 ID        | 参数                    | 说明                  | 最小值  | 典型值 | 最大值 | 单位  | 详情 / 条件                            |
|--------------|-----------------------|---------------------|------|-----|-----|-----|------------------------------------|
| SID.TCPWM.1  | ITCPWM1               | 频率为3 MHz 时的模块电流消耗   | _    | 1   | 45  |     | 所有模式 (TCPWM)                       |
| SID.TCPWM.2  | ITCPWM2               | 频率为 12 MHz 时的模块电流消耗 | -    | -   | 155 | μΑ  | 所有模式 (TCPWM)                       |
| SID.TCPWM.2A | ITCPWM3               | 频率为 48 MHz 时的模块电流消耗 | _    | _   | 650 |     | 所有模式 (TCPWM)                       |
| SID.TCPWM.3  | TCPWM <sub>FREQ</sub> | 工作频率                | 1    | 1   | Fc  | MHz | Fc max = CLK_SYS<br>最大值 = 48 MHz   |
| SID.TCPWM.4  | TPWM <sub>ENEXT</sub> | 输入触发脉冲宽度            | 2/Fc | 1   | -   |     | 针对所有触发事件[8]                        |
| SID.TCPWM.5  | TPWM <sub>EXT</sub>   | 输出触发脉冲宽度            | 2/Fc | 1   | ı   |     | 上溢、下溢和 CC<br>(计数值等于比较值)输出<br>的最小宽度 |
| SID.TCPWM.5A | TC <sub>RES</sub>     | 计数器的分辨率             | 1/Fc | _   | _   | ns  | 连续计数间的最短时间                         |
| SID.TCPWM.5B | PWM <sub>RES</sub>    | PWM 分辨率             | 1/Fc | _   | _   |     | PWM 输出的最小脉宽                        |
| SID.TCPWM.5C | Q <sub>RES</sub>      | 正交输入分辨率             | 1/Fc | _   | _   |     | 正交相位输入间的<br>最小脉冲宽度                 |

## <sup>2</sup>C

## 表 18. 固定 I<sup>2</sup>C 直流规范 [9]

| 规范 ID  | 参数                | 说明                           | 最小值 | 典型值 | 最大值 | 单位 | 详情/条件 |
|--------|-------------------|------------------------------|-----|-----|-----|----|-------|
| SID149 | I <sub>I2C1</sub> | 频率为 100 KHz 时的模块电流消耗         | _   | 1   | 50  |    | _     |
| SID150 | I <sub>I2C2</sub> | 频率为 400 KHz 时的模块电流消耗         | _   | 1   | 135 | μΑ | _     |
| SID151 | I <sub>I2C3</sub> | 在 1 Mbps 时的模块电流消耗            | _   | _   | 310 |    | -     |
| SID152 | I <sub>I2C4</sub> | I <sup>2</sup> C 在深度睡眠模式下被使能 | _   | -   | 1.4 |    |       |

## 表 19. 固定的 I<sup>2</sup>C 交流规范 [9]

| 规范 ID  | 参数                | 说明  | 最小值 | 典型值 | 最大值 | 单位   | 详情/条件 |
|--------|-------------------|-----|-----|-----|-----|------|-------|
| SID153 | F <sub>I2C1</sub> | 比特率 | _   | -   | 1   | Msps | _     |

# 表 20. SPI 直流规范 [10]

| 规范 ID  | 参数    | 说明                | 最小值 | 典型值 | 最大值 | 单位 | 详情/条件 |
|--------|-------|-------------------|-----|-----|-----|----|-------|
| SID163 | ISPI1 | 在 1 Mbps 时的模块电流消耗 | _   | -   | 360 |    | _     |
| SID164 | ISPI2 | 在 4 Mbps 时的模块电流消耗 | _   | 1   | 560 | μΑ | _     |
| SID165 | ISPI3 | 在 8 Mbps 时的模块电流消耗 | _   | 1   | 600 |    | -     |

**注释:**8. 根据所选的工作模式,触发事件可以为: Stop、 Start、 Reload、 Count、 Capture 或 Kill。

<sup>9.</sup> 由出厂标准保证。



## 表 21. SPI 交流规范 [10]

| 规范 ID    | 参数                | 说明                                | 最小值 | 典型值 | 最大值            | 单位  | 详情/条件            |  |  |  |
|----------|-------------------|-----------------------------------|-----|-----|----------------|-----|------------------|--|--|--|
| SID166   | FSPI              | SPI 工作频率 (主设备; 6X 过采样)            | _   | ı   | 8              | MHz | SID166           |  |  |  |
| 固定 SPI 主 | 固定 SPI 主设备模式的交流规范 |                                   |     |     |                |     |                  |  |  |  |
| SID167   | TDMO              | SClock 驱动沿后 MOSI 有效的时间            | _   | _   | 15             |     | -                |  |  |  |
| SID168   | TDSI              | SClock 捕获沿前的 MISO 有效时间            | 20  | _   | -              | ns  | 全时钟、 MISO 推迟采样   |  |  |  |
| SID169   | THMO              | 先前的 MOSI 数据保持时间                   | 0   | ı   | ı              |     | 表示从设备捕获边沿        |  |  |  |
| 固定 SPI 从 | 设备模式的交流           | 规范                                |     |     |                |     |                  |  |  |  |
| SID170   | TDMI              | SClock 捕获沿前的 MOSI 有效时间            | 40  | ı   | 1              |     | _                |  |  |  |
| SID171   | TDSO              | SClock 驱动沿后 MISO 有效的时间            | ı   | I   | 42 +<br>3*Tscb | ns  | Tscb = SCB Clock |  |  |  |
| SID171A  | TDSO_EXT          | Sclock 驱动沿到 MISO 有效的时间 (在外部时钟模式下) | -   | 1   | 48             | 115 | _                |  |  |  |
| SID172   | THSO              | 先前的 MISO 数据保持时间                   | 0   | _   | _              |     | _                |  |  |  |

## 表 22. UART 直流规范 [10]

| 规范 ID  | 参数                 | 说明                   | 最小值 | 典型值 | 最大值 | 单位 | 详情/条件 |
|--------|--------------------|----------------------|-----|-----|-----|----|-------|
| SID160 | I <sub>UART1</sub> | 在 100 Kbps 时的模块电流消耗  | -   | -   | 55  | μΑ | -     |
| SID161 | I <sub>UART2</sub> | 在 1000 Kbps 时的模块电流消耗 | _   | _   | 312 | μA | -     |

# 表 23. UART 交流规范 [10]

| 规范 ID  | 参数                | 说明  | 最小值 | 典型值 | 最大值 | 单位   | 详情/条件 |
|--------|-------------------|-----|-----|-----|-----|------|-------|
| SID162 | F <sub>UART</sub> | 比特率 | _   | -   | 1   | Mbps | _     |

# 表 24. LCD 直接驱动直流规范 [10]

| 规范 ID  | 参数                    | 说明                        | 最小值 | 典型值 | 最大值  | 单位 | 详情/条件                                     |
|--------|-----------------------|---------------------------|-----|-----|------|----|---|
| SID154 | I <sub>LCDLOW</sub>   | 低功耗模式下的工作电流               | -   | 5   | _    | μΑ | 尺寸为 6 x 4 段式 (segment)<br>显示屏;频率为 50 Hz   |
| SID155 | C <sub>LCDCAP</sub>   | LCD各个Segment/Common的电容    | _   | 500 | 5000 | pF | _   |
| SID156 | LCD <sub>OFFSET</sub> | 长期段偏移                     | _   | 20  | -    | mV | _   |
| SID157 | I <sub>LCDOP1</sub>   | LCD 系统工作电流, Vbias = 5 V   | 1   | 2   | 1    | mA | 尺寸为 32 x 4 段式显示屏,<br>频率为 50 Hz, 温度为 25 °C |
| SID158 | I <sub>LCDOP2</sub>   | LCD 系统工作电流, Vbias = 3.3 V | _   | 2   | _    |    | 32 x 4 段式显示屏, 频率为 50 Hz, 温度为 25 °C        |

## 表 25. LCD 直接驱动器交流规范 [10]

| 规范 ID  | 参数               | 说明     | 最小值 | 典型值 | 最大值 | 单位 | 详情/条件 |
|--------|------------------|--------|-----|-----|-----|----|-------|
| SID159 | F <sub>LCD</sub> | LCD 帧率 | 10  | 50  | 150 | Hz | _     |

#### 注释:

10. 由出厂校准保证。



#### 存储器

### 表 26. 闪存直流规范

| 规范 ID  | 参数       | 说明      | 最小值  | 典型值 | 最大值 | 单位 | 详情/条件 |
|--------|----------|---------|------|-----|-----|----|-------|
| SID173 | $V_{PE}$ | 擦除和编程电压 | 1.71 | 1   | 5.5 | ٧  | _     |

### 表 27. 闪存交流规范

| 规范 ID                   | 参数                                      | 说明   | 最小值   | 典型值 | 最大值 | 单位   | 详情/条件      |
|-------------------------|---|--|-------|-----|-----|------|------------|
| SID174                  | T <sub>ROWWRITE</sub> <sup>[11]</sup>   | 行(块)编写时间(擦除和编程)  | _     | -   | 20  |      | 行(块)=64字节  |
| SID175                  | T <sub>ROWERASE</sub> <sup>[11]</sup>   | 行擦除时间  | _     | -   | 13  | ms   | _          |
| SID176                  | T <sub>ROWPROGRAM</sub> <sup>[11]</sup> | 擦除后的行编程时间  | _     | -   | 7   | 1113 | _          |
| SID178                  | T <sub>BULKERASE</sub> [11]             | 批量擦除时间 (16 KB)   | _     | -   | 15  |      | _          |
| SID180 <sup>[12]</sup>  | T <sub>DEVPROG</sub> <sup>[11]</sup>    | 器件总编程时间  | _     | _   | 7.5 | s    | -          |
| SID181 <sup>[12]</sup>  | F <sub>END</sub>                        | 闪存耐久性  | 100 K | _   | _   | 周期   | -          |
| SID182 <sup>[12]</sup>  | F <sub>RET</sub>                        | 闪存数据保留时间。 T <sub>A</sub> ≤ 55 °C, 10 万次编程 / 擦除周期   | 20    | -   | -   | 年    | _          |
| SID182A <sup>[12]</sup> | _                                       | 闪存数据保留时间。 T <sub>A</sub> ≤ 85°C,<br>一万个编程 / 擦除周期   | 10    | 1   | -   | 平    | _          |
| SID182B                 | F <sub>RETQ</sub>                       | 闪存数据保留时间. T <sub>A</sub> ≤ 105 °C,<br>一万个编程/擦除周期, T <sub>A</sub> ≥ 85<br>°C时, ≤ <b>3</b> 年 | 10    | I   | 20  | 年    | 出厂校准保证     |
| SID256                  | TWS48                                   | 频率为 48 MHz 时的等待状态数   | 2     |     | -   |      | CPU 从闪存内执行 |
| SID257                  | TWS24                                   | 频率为 24 MHz 时的等待状态数   | 1     | _   | _   |      | CPU 从闪存内执行 |

## 系统资源

上电复位 (POR)

## 表 28. 上电复位 (PRES)

| 规范 ID                  | 参数                    | 说明     | 最小值  | 典型值 | 最大值 | 单位   | 详情/条件 |
|------------------------|-----------------------|--------|------|-----|-----|------|-------|
| SID.CLK#6              | SR_POWER_UP           | 电源转换速率 | 1    | 1   | 67  | V/ms | 上电时   |
| SID185 <sup>[12]</sup> | V <sub>RISEIPOR</sub> | 上升触发电压 | 0.80 | 1   | 1.5 | V    | _     |
| SID186 <sup>[12]</sup> | V <sub>FALLIPOR</sub> | 下降触发电压 | 0.70 | _   | 1.4 |      | _     |

## 表 29. V<sub>CCD</sub> 的掉电检测 (BOD)

| 规范 ID                  | 参数                     | 说明                      | 最小值  | 典型值 | 最大值  | 单位 | 详情/条件 |
|------------------------|------------------------|-------------------------|------|-----|------|----|-------|
| SID190 <sup>[12]</sup> | V <sub>FALLPPOR</sub>  | 活动模式和睡眠模式下的 BOD<br>触发电压 | 1.48 | -   | 1.62 | V  | _     |
| SID192 <sup>[12]</sup> | V <sub>FALLDPSLP</sub> | 深度睡眠模式下的 BOD 触发电压       | 1.1  | _   | 1.5  |    | _     |

## 注释:



#### SWD 接口

## 表 30. SWD 接口规范

| 规范 ID                   | 参数           | 说明   | 最小值    | 典型值 | 最大值   | 单位  | 详情/条件                     |
|-------------------------|--------------|--|--------|-----|-------|-----|---------------------------|
| SID213                  | F_SWDCLK1    | $3.3~V \leq V_{DD} \leq 5.5~V$                       | 1      | -   | 14    | MHz | SWDCLK ≤ CPU<br>时钟频率的 1/3 |
| SID214                  | F_SWDCLK2    | $1.71 \text{ V} \le \text{V}_{DD} \le 3.3 \text{ V}$ | 1      | -   | 7     |     | SWDCLK ≤ CPU<br>时钟频率的 1/3 |
| SID215 <sup>[13]</sup>  | T_SWDI_SETUP | T = 1/f SWDCLK                                       | 0.25*T | -   | _     |     | _                         |
| SID216 <sup>[13]</sup>  | T_SWDI_HOLD  | T = 1/f SWDCLK                                       | 0.25*T | _   | _     | ns  | _                         |
| SID217 <sup>[13]</sup>  | T_SWDO_VALID | T = 1/f SWDCLK                                       | _      | _   | 0.5*T | 115 | _                         |
| SID217A <sup>[13]</sup> | T_SWDO_HOLD  | T = 1/f SWDCLK                                       | 1      | -   | -     |     | _                         |

### 内部主振荡器

## 表 31. IMO 直流规范

(由设计保证)

| 规范 ID  | 参数                | 说明                     | 最小值 | 典型值 | 最大值 | 单位 | 详情/条件 |
|--------|-------------------|------------------------|-----|-----|-----|----|-------|
| SID218 | I <sub>IMO1</sub> | 频率为 48 MHz 时 IMO 的工作电流 | _   | _   | 250 | μΑ | _     |
| SID219 | I <sub>IMO2</sub> | 频率为 24 MHz 时 IMO 的工作电流 | -   | _   | 180 | μΑ | _     |

### 表 32. IMO 交流规范

| 规范 ID  | 参数                      | 说明                                 | 最小值 | 典型值 | 最大值 | 单位  | 详情 / 条件  |
|--------|-------------------------|------------------------------------|-----|-----|-----|-----|--|
| SID223 | F <sub>IMOTOL1</sub>    | 频率范围为 24 ~ 48 MHz<br>(递增步长为 4 MHz) | -2  | 1   | +2  | -70 | 2 V $\leq$ V <sub>DD</sub> $\leq$ 5.5 和<br>-25 °C $\leq$ T <sub>A</sub> $\leq$ 85 °C |
| SID226 | T <sub>STARTIMO</sub>   | IMO 启动时间                           | -   | _   | 7   | μs  | _  |
| SID228 | T <sub>JITRMSIMO2</sub> | 在 24 MHz 时的均方根抖动时间                 | ı   | 145 | _   | ps  | _  |

## 内部低速振荡器

## 表 33. ILO 直流规范

(由设计保证)

| 规范 ID                  | 参数                | 说明      | 最小值 | 典型值 | 最大值  | 单位 | 详情/条件 |
|------------------------|-------------------|---------|-----|-----|------|----|-------|
| SID231 <sup>[13]</sup> | I <sub>ILO1</sub> | ILO工作电流 | 1   | 0.3 | 1.05 | μA | _     |

#### 表 34. ILO 交流规范

| 规范 ID                  | 参数                     | 说明      | 最小值 | 典型值 | 最大值 | 单位  | 详情/条件 |
|------------------------|------------------------|---------|-----|-----|-----|-----|-------|
| SID234 <sup>[13]</sup> | T <sub>STARTILO1</sub> | ILO启动时间 | _   | _   | 2   | ms  | -     |
| SID236 <sup>[13]</sup> | T <sub>ILODUTY</sub>   | ILO 占空比 | 40  | 50  | 60  | %   | _     |
| SID237                 | F <sub>ILOTRIM1</sub>  | ILO频率范围 | 20  | 40  | 80  | kHz | _     |

### 注释:

13. 由出厂标准保证。



## 表 35. 时钟晶体振荡器 (WCO) 规范

| 规范 ID  | 参数     | 说明           | 最小值 | 典型值    | 最大值  | 单位  | 详情/条件         |
|--------|--------|--------------|-----|--------|------|-----|---------------|
| SID398 | FWCO   | 晶振频率         | _   | 32.768 | -    | kHz |               |
| SID399 | FTOL   | 频率容限         | _   | 50     | 250  | ppm | 晶振的精度为 20 ppm |
| SID400 | ESR    | 等效串联电阻       | _   | 50     | _    | kΩ  |               |
| SID401 | PD     | 驱动电平         | _   | -      | 1    | μW  |               |
| SID402 | TSTART | 启动时间         | _   | _      | 500  | ms  |               |
| SID403 | CL     | 晶振负载电容       | 6   | _      | 12.5 | pF  |               |
| SID404 | C0     | 晶振寄生电容       | _   | 1.35   | _    | pF  |               |
| SID405 | IWCO1  | 工作电流(高功耗模式下) | _   | _      | 8    | uA  |               |

## 表 36. 外部时钟规范

| 规范 ID                  | 参数         | 说明                               | 最小值 | 典型值 | 最大值 | 单位  | 详情 / 条件 |
|------------------------|------------|----------------------------------|-----|-----|-----|-----|---------|
| SID305 <sup>[14]</sup> | ExtClkFreq | 外部时钟输入频率                         | 0   | _   | 16  | MHz | _       |
| SID306 <sup>[14]</sup> | ExtClkDuty | 占空比;在 V <sub>DD/2</sub> 电压下测量得到的 | 45  | -   | 55  | %   | _       |

## 表 37. 模块规范

| 规范 ID                  | 参数                     | 说明         | 最小值 | 典型值 | 最大值 | 单位 | 详情/条件 |
|------------------------|------------------------|------------|-----|-----|-----|----|-------|
| SID262 <sup>[14]</sup> | T <sub>CLKSWITCH</sub> | 系统时钟源的切换时间 | 3   | -   | 4   | 周期 | _     |

# 表 38. PRGIO 接通时间 ( 旁路模式下会有延迟 )

| 规范 ID  | 参数 | 说明                  | 最小值 | 典型值 | 最大值 | 单位 | 详情/条件 |
|--------|----|---------------------|-----|-----|-----|----|-------|
| SID252 |    | 万如侯八 田 1100 7 玖的城区是 | -   | -   | 1.6 | ns |       |
|        |    | 时间                  |     |     |     |    |       |

### 注释:

14. 由出厂标准保证。



# 订购信息

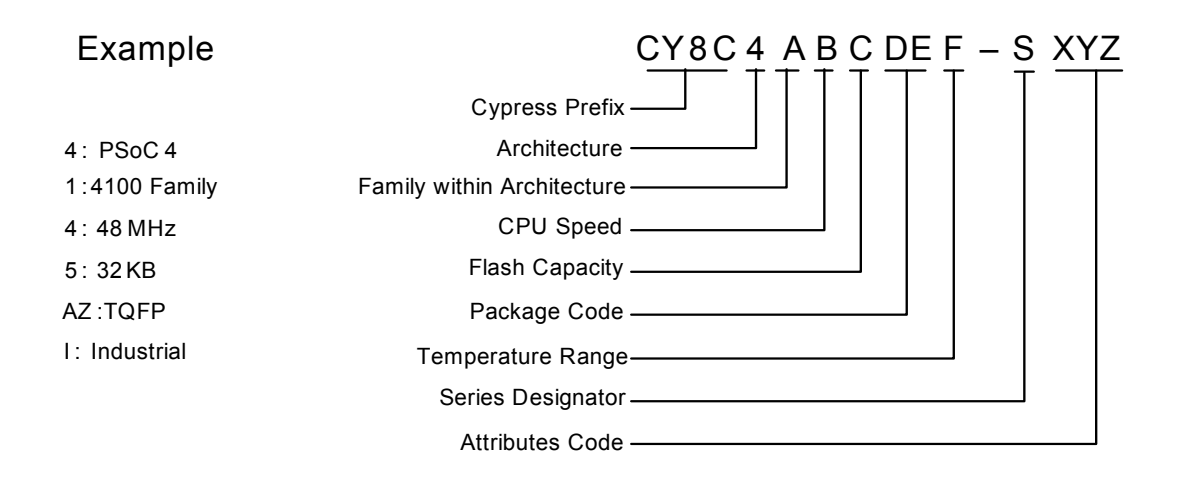
|          | 特性                |                     |     |            |           |             | 封装          |          |                |                  |     |                |                |              |            |           |      |         |          |         |        |
|----------|-------------------|---------------------|-----|------------|-----------|-------------|-------------|----------|----------------|------------------|-----|----------------|----------------|--------------|------------|-----------|------|---------|----------|---------|--------|
| <b>※</b> | MPN               | Max CPU Speed (MHz) | DMA | Flash (KB) | SRAM (KB) | 13-bit VDAC | Opamp (CTB) | CapSense | 10-bit CSD ADC | Direct LCD Drive | RTC | 12-bit SAR ADC | LP Comparators | TCPWM Blocks | SCB Blocks | Smart IOs | GPIO | 28-SSOP | 45-WLCSP | 48-TQFP | 48-QFN |
|          | CY8C4125PVI-PS421 | 24                  | ~   | 32         | 4         | 2           | 4           | -        | ~              | ~                | ~   | 806 ksps       | 2              | 8            | 2          | 8         | 20   | ~       | -        | -       | _      |
| 4125     | CY8C4125FNI-PS423 | 24                  | ~   | 32         | 4         | 2           | 4           | _        | ~              | ~                | ~   | 806 ksps       | 2              | 8            | 2          | 8         | 37   | -       | ~        | -       | -      |
| 4125     | CY8C4125AZI-PS423 | 24                  | ~   | 32         | 4         | 2           | 4           | _        | ~              | ~                | >   | 806 ksps       | 2              | 8            | 2          | 8         | 38   | -       | -        | ~       | _      |
|          | CY8C4125LQI-PS423 | 24                  | ~   | 32         | 4         | 2           | 4           | -        | ~              | ~                | ~   | 806 ksps       | 2              | 8            | 2          | 8         | 38   | -       | -        | ı       | ~      |
|          | CY8C4145PVI-PS421 | 48                  | ~   | 32         | 4         | 2           | 4           | _        | ~              | ~                | ~   | 1000 ksps      | 2              | 8            | 2          | 8         | 20   | ~       | -        | -       | -      |
|          | CY8C4145FNI-PS423 | 48                  | ~   | 32         | 4         | 2           | 4           | _        | ~              | ~                | ~   | 1000 ksps      | 2              | 8            | 2          | 8         | 37   | -       | ~        | -       | -      |
|          | CY8C4145AZI-PS423 | 48                  | ~   | 32         | 4         | 2           | 4           | _        | ~              | ~                | ~   | 1000 ksps      | 2              | 8            | 2          | 8         | 38   | _       | -        | ~       | -      |
| 4145     | CY8C4145LQI-PS423 | 48                  | ~   | 32         | 4         | 2           | 4           | _        | ~              | ~                | ~   | 1000 ksps      | 2              | 8            | 2          | 8         | 38   | -       | _        | -       | ~      |
| 4143     | CY8C4145PVI-PS431 | 48                  | ~   | 32         | 4         | 2           | 4           | ~        | ~              | ~                | /   | 1000 ksps      | 2              | 8            | 3          | 8         | 20   | ~       | _        | -       | -      |
|          | CY8C4145FNI-PS433 | 48                  | ~   | 32         | 4         | 2           | 4           | ~        | ~              | ~                | ~   | 1000 ksps      | 2              | 8            | 3          | 8         | 37   | -       | ~        | -       | _      |
|          | CY8C4145AZI-PS433 | 48                  | ~   | 32         | 4         | 2           | 4           | ~        | ٧              | ~                | ١   | 1000 ksps      | 2              | 8            | 3          | 8         | 38   | -       | -        | ٧       | _      |
|          | CY8C4145LQI-PS433 | 48                  | ~   | 32         | 4         | 2           | 4           | ~        | >              | ~                | >   | 1000 ksps      | 2              | 8            | 3          | 8         | 38   | -       | -        | _       | ~      |

## 上表中所用的名称是基于以下的器件编号常规:

| 字段   | 说明              | 值       | 含义                 |
|------|-----------------|---------|--------------------|
| CY8C | 赛普拉斯前缀          |         |                    |
| 4    | 架构              | 4       | Arm Cortex-M0+ CPU |
| Α    | 产品系列            | 1       | 4100PS 系列          |
| В    | 具上柘炭            | 2       | 24 MHz             |
| 6    | 最大频率            | 4       | 48 MHz             |
| С    | 闪存存储器容量         | 5       | 32 KB              |
|      |                 | AZ      | TQFP (0.5mm 间距)    |
| DE   | ++ \H; \L\ \tau | LQ      | QFN                |
| DE   | 封装代码            | PV      | SSOP               |
|      |                 | FN      | CSP                |
| S    | 芯片系列代号          | PS      | S-系列               |
| F    | 温度范围            | I       | 工业级                |
| XYZ  | 属性代码            | 000-999 | 在个别系列中的功能集代码       |



下面是一个器件型号示例:





# 封装

| 规范 ID  | 封装         | 说明                                  | 封装 DWG 编号 |
|--------|------------|-------------------------------------|-----------|
| BID20  | 48 引脚 TQFP | 7×7×1.4 mm 高度<br>( 引脚间距为 0.5 mm)    | 51-85135  |
| BID27  | 48 引脚 QFN  | 6×6×0.6 mm 高度<br>( 引脚间距为 0.4 mm)    | 001-57280 |
| BID34  | 45 球 WLCSP | 3.7×2×0.5 mm 高度<br>( 引脚间距为 0.38 mm) | 002-10531 |
| BID34A | 28 引脚 SSOP | 5.3×10.2×0.65 mm 高度                 | 51-85079  |

## 表 39. 封装的热特性

| 参数  | 描述                 | 封装         | 最小值 | 典型值  | 最大值 | 单位      |
|-----|--------------------|------------|-----|------|-----|---------|
| TA  | 工作环境温度             |            | -40 | 25   | 105 | °C      |
| TJ  | 工作结温               |            | -40 | _    | 125 | °C      |
| TJA | 封装 θ <sub>JA</sub> | 48 引脚 TQFP | _   | 71   | _   | °C/Watt |
| TJC | 封装 θ <sub>JC</sub> | 48 引脚 TQFP | _   | 34.3 | _   | °C/Watt |
| TJA | 封装 θ <sub>JA</sub> | 48 引脚 QFN  | _   | 18   | _   | °C/Watt |
| TJC | 封装 θ <sub>JC</sub> | 48 引脚 QFN  | _   | 4.5  | _   | °C/Watt |
| TJA | 封装 θ <sub>JA</sub> | 45 球 WLCSP | _   | 37.2 | _   | °C/Watt |
| TJC | 封装 θ <sub>JC</sub> | 45 球 WLCSP | _   | 0.31 | _   | °C/Watt |
| TJA | 封装 θ <sub>JA</sub> | 28 引脚 SSOP | _   | 60   | _   | °C/Watt |
| TJC | 封装 θ <sub>JC</sub> | 28 引脚 SSOP | -   | 25   | _   | °C/Watt |

## 表 40. 回流焊峰值温度

| 封装     | 最高峰值温度 | 峰值温度下的最长时间 |
|--------|--------|------------|
| 所有封装类型 | 260 °C | 30 秒       |

## 表 41. 封装潮敏等级 (MSL) (根据 IPC/JEDEC J-STD-020 标准)

| 封装     | MSL   |
|--------|-------|
| 所有封装类型 | MSL 3 |



### 封装图

#### 图 7. 48 引脚 TQFP 封装外形

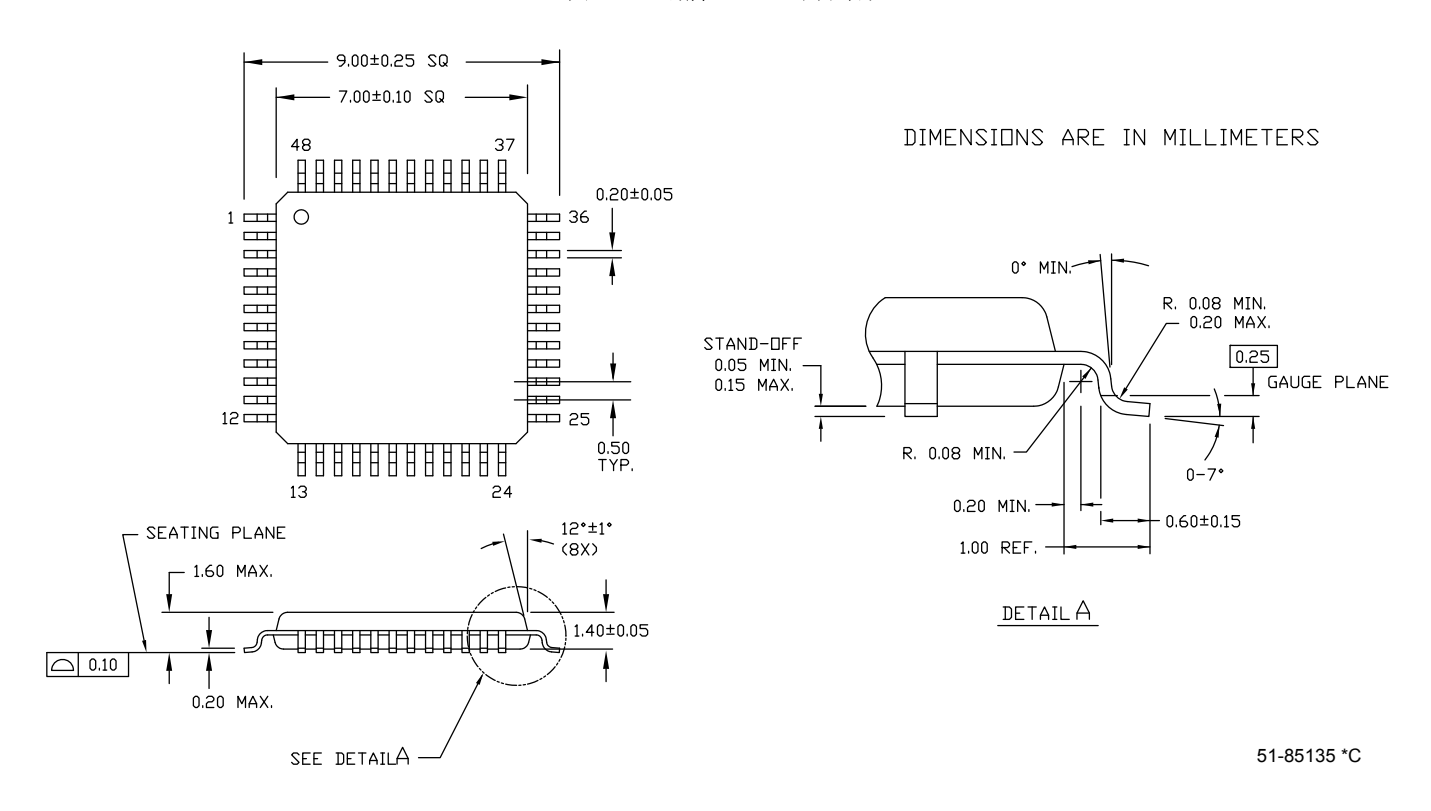
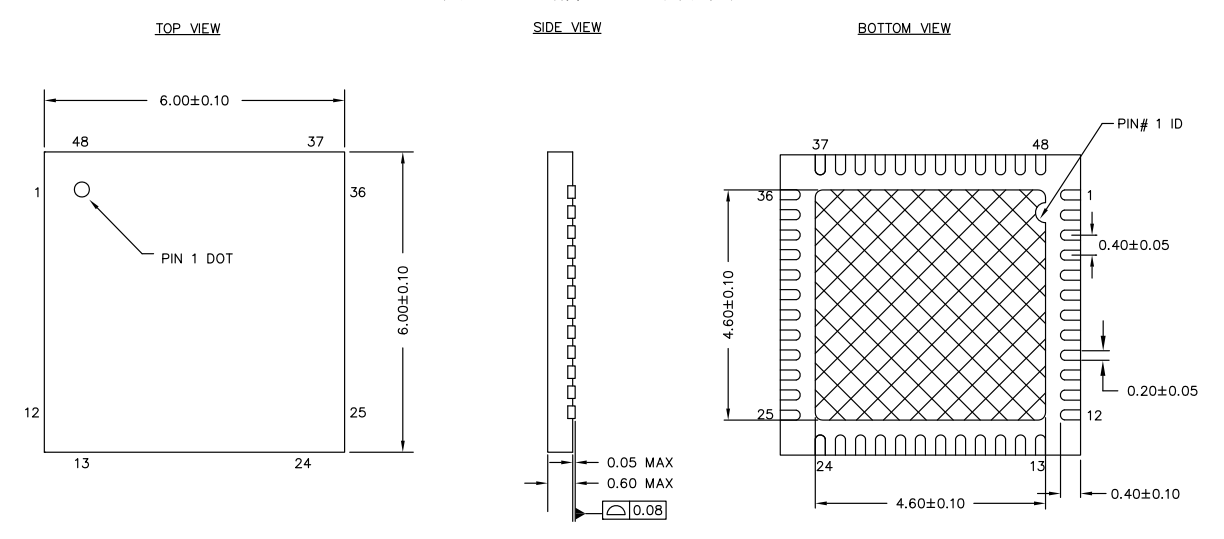


图 8. 48 引脚 QFN 封装外形



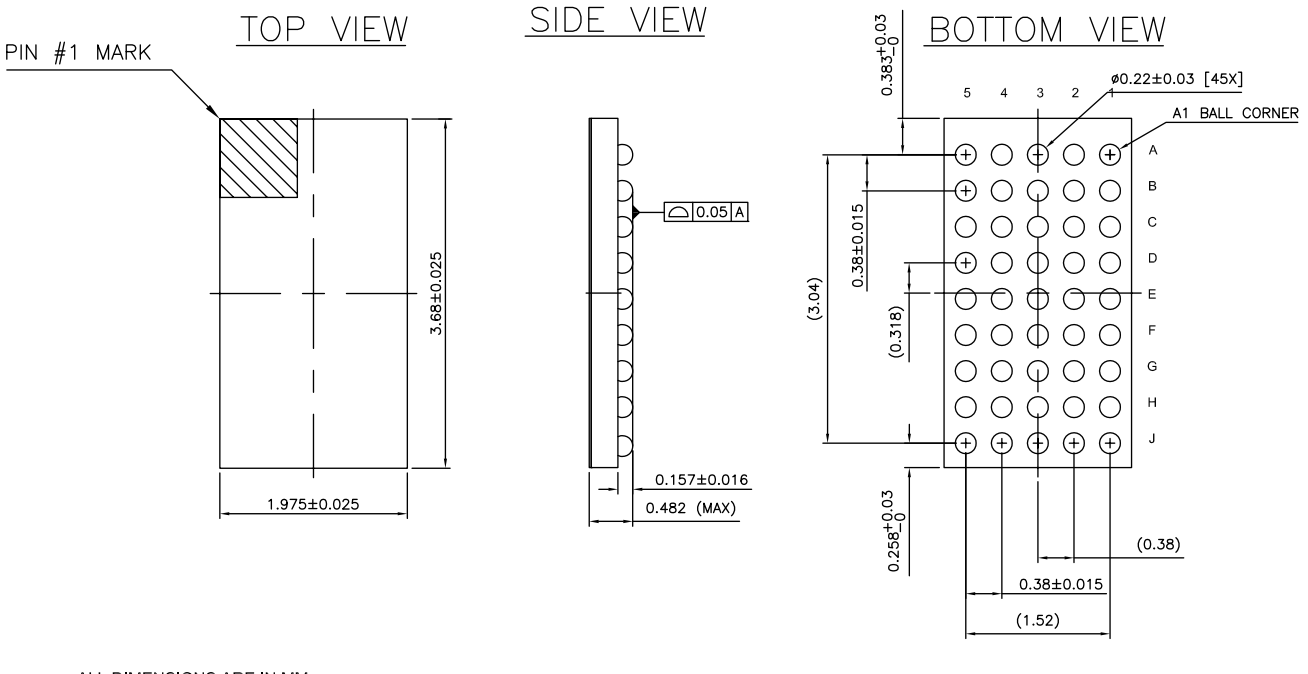
#### NOTES:

- 1. HATCH AREA IS SOLDERABLE EXPOSED PAD
- 2. REFERENCE JEDEC # MO-248
- 3. PACKAGE WEIGHT: 68 ±7 mg
- 4. ALL DIMENSIONS ARE IN MILLIMETERS

001-57280\*E

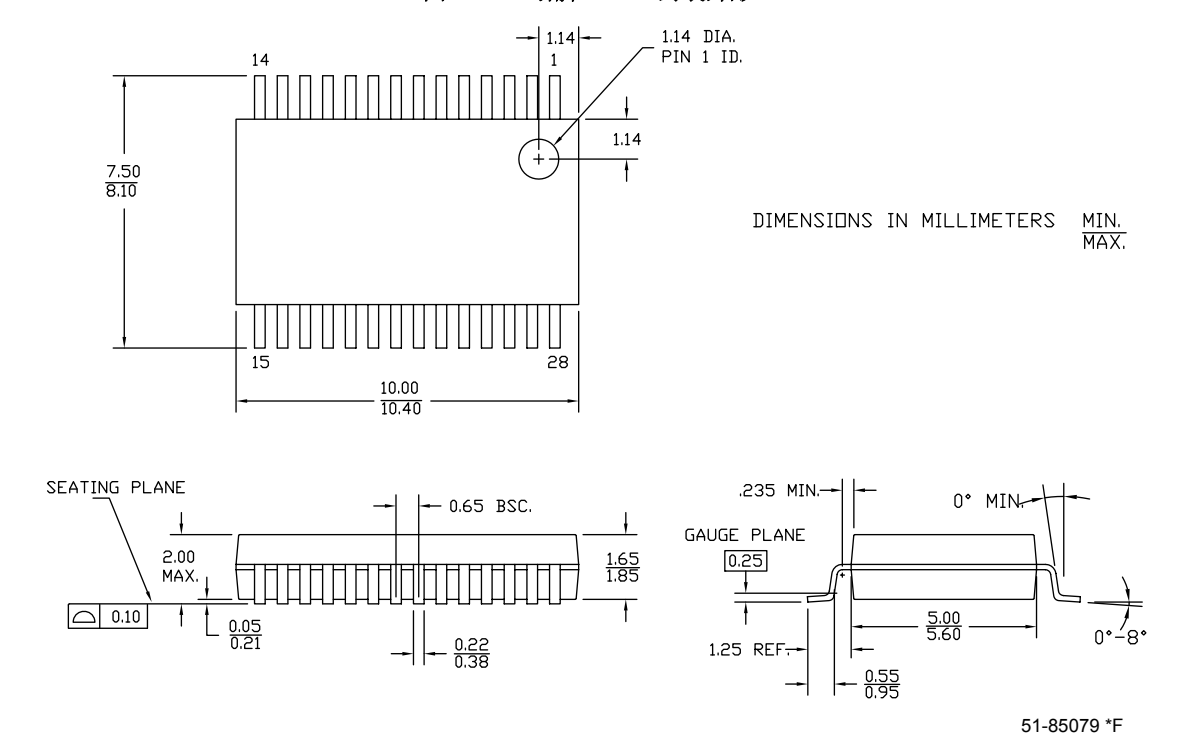


### 图 9. 45 球 WLCSP 尺寸



ALL DIMENSIONS ARE IN MM JEDEC Publication 95; Design Guide 4.18 002-10531 \*\*

### 图 10. 28 引脚 SSOP 封装外形





# 缩略语

## 表 42. 本文档中使用的缩略语

| 缩略语              | 描述  |
|------------------|---|
| abus             | 模拟局部总线                                      |
| ADC              | 模数转换器                                       |
| AG               | 模拟全局总线                                      |
| AHB              | AMBA (先进的微控制器总线结构)高性能总线,<br>它是一种 Arm 数据传输总线 |
| ALU              | 算术逻辑单元                                      |
| AMUXBUS          | 模拟复用器总线                                     |
| API              | 应用编程接口                                      |
| APSR             | 应用程序状态寄存器                                   |
| Arm <sup>®</sup> | 高级 RISC 机器,它是一种 CPU 架构                      |
| ATM              | 自动 Thump 模式                                 |
| BW               | 带宽  |
| CAN              | 控制器区域网络,它是一种通信协议                            |
| CMRR             | 共模抑制比                                       |
| CPU              | 中央处理单元                                      |
| CRC              | 循环冗余校验,它是一种校验错误的协议                          |
| DAC              | 数模转换器,另请参见 IDAC、 VDAC                       |
| DFB              | 数字滤波器模块                                     |
| DIO              | 数字输入 / 输出, GPIO 只有数字功能,无模拟功能。请参见 GPIO。      |
| DMIPS            | Dhrystone 每秒百万条指令                           |
| DMA              | 直接存储器访问,另请参见 TD                             |
| DNL              | 微分非线性,另请参见 INL                              |
| DNU              | 请勿使用  |
| DR               | 端口写入数据寄存器                                   |
| DSI              | 数字系统互连                                      |
| DWT              | 数据观察点和跟踪                                    |
| ECC              | 纠错码   |
| ECO              | 外部晶体振荡器                                     |
| EEPROM           | 电可擦除可编程只读存储器                                |
| EMI              | 电磁干扰  |
| EMIF             | 外部存储器接口                                     |
| EOC              | 转换结束  |
| EOF              | 帧结束   |
| EPSR             | 执行程序状态寄存器                                   |
| ESD              | 静电放电  |
| ETM              | 嵌入式跟踪宏单元                                    |
| FIR              | 有限脉冲响应,另请参见 IIR                             |

表 42. 本文档中使用的缩略语 (续)

| 缩略语                    | 描述                                    |
|------------------------|---------------------------------------|
| FPB                    | 闪存修补和断点                               |
| FS                     | 全速                                    |
| GPIO                   | 通用输入/输出,适用于 PSoC 引脚                   |
| HVI                    | 高电压中断,另请参见 LVI 、 LVD                  |
| IC                     | 集成电路                                  |
| IDAC                   | 电流 DAC,另请参见 DAC、 VDAC                 |
| IDE                    | 集成开发环境                                |
| I <sup>2</sup> C 或 IIC | 互联集成电路,它是一种通信协议                       |
| IIR                    | 无限脉冲响应,另请参见 FIR                       |
| ILO                    | 内部低速振荡器,另请参见 IMO                      |
| IMO                    | 内部主振荡器,另请参见 ILO                       |
| INL                    | 积分非线性,另请参见 DNL                        |
| I/O                    | 输入 / 输出,另请参见 GPIO、 DIO、 SIO、<br>USBIO |
| IPOR                   | 初次上电复位                                |
| IPSR                   | 中断程序状态寄存器                             |
| IRQ                    | 中断请求                                  |
| ITM                    | 仪表跟踪宏单元                               |
| LCD                    | 液晶显示器                                 |
| LIN                    | 本地互联网络,它是一种通信协议。                      |
| LR                     | 链接寄存器                                 |
| LUT                    | 查找表                                   |
| LVD                    | 低压检测,另请参见 LVI                         |
| LVI                    | 低压中断,另请参见 HVI                         |
| LVTTL                  | 低压晶体管 - 晶体管逻辑                         |
| MAC                    | 乘法累加器                                 |
| MCU                    | 微控制器单元                                |
| MISO                   | 主入从出                                  |
| NC                     | 无连接                                   |
| NMI                    | 不可屏蔽中断                                |
| NRZ                    | 非归零                                   |
| NVIC                   | 嵌套向量中断控制器                             |
| NVL                    | 非易失性锁存器,另请参见 WOL                      |
| opamp                  | 运算放大器                                 |
| PAL                    | 可编程阵列逻辑,另请参见 PLD                      |
| PC                     | 程序计数器                                 |
| PCB                    | 印刷电路板                                 |
| PGA                    | 可编程增益放大器                              |
| PHUB                   | 外设集线器                                 |



## 表 42. 本文档中使用的缩略语 (续)

| 缩略语               | 描述                                  |
|-------------------|-------------------------------------|
| PHY               | 物理层                                 |
| PICU              | 端口中断控制单元                            |
| PLA               | 可编程逻辑阵列                             |
| PLD               | 可编程逻辑器件,另请参见 PAL                    |
| PLL               | 锁相环                                 |
| PMDD              | 封装材料声明数据手册                          |
| POR               | 上电复位                                |
| PRES              | 精密上电复位                              |
| PRS               | 伪随机序列                               |
| PS                | 端口读取数据寄存器                           |
| PSoC <sup>®</sup> | 可编程片上系统                             |
| PSRR              | 电源抑制比                               |
| PWM               | 脉宽调制器                               |
| RAM               | 随机存取存储器                             |
| RISC              | 精简指令集计算                             |
| RMS               | 均方根                                 |
| RTC               | 实时时钟                                |
| RTL               | 寄存器传输语言                             |
| RTR               | 远程发送请求                              |
| RX                | 接收                                  |
| SAR               | 逐次逼近寄存器                             |
| SC/CT             | 开关电容 / 连续时间                         |
| SCL               | I <sup>2</sup> C 串行时钟               |
| SDA               | I <sup>2</sup> C 串行数据               |
| S/H               | 采样和保持                               |
| SINAD             | 信噪和失真比                              |
| SIO               | 特殊输入 / 输出,带高级功能的 GPIO。<br>请参见 GPIO。 |
| SOC               | 开始转换                                |
| SOF               | 帧的起始                                |
| SPI               | 串行外设接口,它是一种通信协议                     |
| SR                | 斜率                                  |
| SRAM              | 静态随机存取存储器                           |
| SRES              | 软件复位                                |
| SWD               | 串行线调试,它是一种测试协议                      |
| SWV               | 单线浏览器                               |
| TD                | 传输描述符,另请参见 DMA                      |
| THD               | 总谐波失真                               |
| TIA               | 互阻放大器                               |
| TRM               | 技术参考手册                              |

表 42. 本文档中使用的缩略语 (续)

| 缩略语   | 描述                                |  |  |  |  |
|-------|-----------------------------------|--|--|--|--|
| TTL   | 晶体管 - 晶体管逻辑                       |  |  |  |  |
| TX    | 发送                                |  |  |  |  |
| UART  | 通用异步发送器接收器,它是一种通信协议               |  |  |  |  |
| UDB   | 通用数字模块                            |  |  |  |  |
| USB   | 通用串行总线                            |  |  |  |  |
| USBIO | USB 输入 / 输出,用于连接至 USB 端口的 PSoC 引脚 |  |  |  |  |
| VDAC  | 电压数模转换器,另请参见 DAC、 IDAC            |  |  |  |  |
| WDT   | 看门狗定时器                            |  |  |  |  |
| WOL   | 一次性写锁存器,另请参见 NVL                  |  |  |  |  |
| WRES  | 看门狗定时器复位                          |  |  |  |  |
| XRES  | 外部复位 I/O 引脚                       |  |  |  |  |
| XTAL  | 晶体                                |  |  |  |  |



# 文档惯例

# 测量单位

## 表 43. 测量单位

| 衣 43. 侧重型 |              |  |  |  |  |
|-----------|--------------|--|--|--|--|
| 符号        | 测量单位         |  |  |  |  |
| °C        | 摄氏度          |  |  |  |  |
| dB        | 分贝           |  |  |  |  |
| fF        | 飞法           |  |  |  |  |
| Hz        | 赫兹           |  |  |  |  |
| KB        | 1024 字节      |  |  |  |  |
| kbps      | 千比特每秒        |  |  |  |  |
| Khr       | 千小时          |  |  |  |  |
| kHz       | 千赫兹          |  |  |  |  |
| kΩ        | 千欧姆          |  |  |  |  |
| ksps      | 千次采样每秒       |  |  |  |  |
| LSB       | 最低有效位        |  |  |  |  |
| Mbps      | 每秒兆比特        |  |  |  |  |
| MHz       | 兆赫兹          |  |  |  |  |
| ΜΩ        | 兆欧           |  |  |  |  |
| Msps      | 每秒兆次采样       |  |  |  |  |
| μA        | 微安           |  |  |  |  |
| μF        | 微法           |  |  |  |  |
| μH        | 微亨           |  |  |  |  |
| μs        | 微秒           |  |  |  |  |
| μV        | 微伏           |  |  |  |  |
| μW        | 微瓦           |  |  |  |  |
| mA        | 毫安           |  |  |  |  |
| ms        | 毫秒           |  |  |  |  |
| mV        | 毫伏           |  |  |  |  |
| nA        | 纳安           |  |  |  |  |
| ns        | 纳秒           |  |  |  |  |
| nV        | 纳伏           |  |  |  |  |
| Ω         | 欧姆           |  |  |  |  |
| pF        | 皮法           |  |  |  |  |
| ppm       | 百万分率         |  |  |  |  |
| ps        | 皮秒           |  |  |  |  |
| s         | 秒            |  |  |  |  |
| sps       | <b>与秒采样数</b> |  |  |  |  |
| sqrtHz    | 赫兹平方根        |  |  |  |  |
| V         | 伏特           |  |  |  |  |
|           |              |  |  |  |  |



# 修订记录

| 说明标题 : PSoC <sup>®</sup> 4 PSoC 4100PS 数据手册 可编程片上系统 (PSoC <sup>®</sup> )<br>文档编号 : 002-23774 |         |      |            |  |  |  |  |
|--|---------|------|------------|--|--|--|--|
| 版本   | ECN     | 变更者  | 提交日期       | 变更说明                                   |  |  |  |
| **   | 6295218 | XITO | 08/30/2018 | 本文档版本号为 Rev. **,译自英文版 002-22097 Rev*B。 |  |  |  |



## 销售、解决方案和法律信息

### 全球销售和设计支持

赛普拉斯公司具有一个由办事处、解决方案中心、厂商代表和经销商组成的全球性网络。要想找到离您最近的办事处,请访问赛普拉斯所在地。

### 产品

Arm® Cortex® 微控制器 cypress.com/arm 汽车级产品 cypress.com/automotive 时钟与缓冲器 cypress.com/clocks 接口 cypress.com/interface 物联网 cypress.com/iot 存储器 cypress.com/memory 微控制器 cypress.com/mcu **PSoC** cypress.com/psoc 电源管理ICs cypress.com/pmic 触摸感应 cypress.com/touch USB控制器 cypress.com/usb 无线连接 cypress.com/wireless

## PSoC® 解决方案

PSoC 1 | PSoC 3 | PSoC 4 | PSoC 5LP | PSoC 6 MCU

#### 赛普拉斯开发者社区

社区 | 项目 | 视频 | 博客 | 培训 | 组件

#### 技术支持

cypress.com/support

© 赛普拉斯半导体公司,2018 年。本文件是赛普拉斯半导体公司及其子公司,包括 Spansion LLC("赛普拉斯")的财产。本文件,包括其包含或引用的任何软件或固件("软件"),根据全球范围内的知识产权法律以及美国与其他国家签署条约由赛普拉斯所有。除非在本款中另有明确规定,赛普拉斯保留在该等法律和条约下的所有权利,且未就其专利、版权、商标或其他知识产权授予任何许可。如果软件并不附随有一份许可协议且贵方未以其他方式与赛普拉斯签署关于使用软件的书面协议,赛普拉斯特此授予贵方属人性质的、非独家且不可转让的如下许可(无再许可权)(1)在赛普拉斯特软件著作权项下的了列许可权(一)对以源代码形式提供的软件,仅出于在赛普拉斯硬件产品上使用之目的且仅在贵方集团内部修改和复制软件,和(二)仅限于在有关等拉斯硬件产品上使用之目的将软件以二进制代码形式的向外部最终用户提供(无论直接提供或通过经销商和分销商间接提供),和(2)在被软件(由赛普拉斯公司提供,且未经修改)侵犯的赛普拉斯专利的权利主张项下,仅出于在赛普拉斯硬件产品上使用之目的制造、使用、提供和进口软件的许可。禁止对软件的任何其他使用、复制、修改、翻译或汇编。

在适用法律允许的限度内,赛普拉斯未对本文件或任何软件作出任何明示或暗示射担保,包括但不限于关于适销性和特定用途的默示保证。没有任何电子设备是绝对安全的。因此,尽管赛普拉斯在其硬件和软件产品中采取了必要的安全措施,但是赛普拉斯并不承担任何由于使用赛普拉斯产品而引起的安全问题及安全漏洞的责任,例如未经授权的访问或使用赛普拉斯产品。此外,本材料中所介绍的赛普拉斯产品有可能存在设计缺陷或设计错误,从而导致产品的性能与公布的规格不一致。(如果发现此类问题,赛普拉斯会提供勘误表)赛普拉斯保留更改本文件的权利,届时将不另行通知。在适用法律允许的限度内,赛普拉斯不对因应用或使用本文件所述任何产品或电路引起的任何后果负责。本文件,包括任何样本设计信息或程序代码信息,仅为供参考之目的提供。文件使用人应负责正确设计、计划和测试信息应用和由此生产的任何产品的功能和安全性。赛普拉斯产品不应被设计为、设定为或授权用作武器操作、武器系统、核设施、生命支持设备或系统、其他医疗设备或系统、气包括急救设备和手术植入物)、污染控制或有害物质管理系统中的关键部件,或产品植入之设备或系统故障可能导致人身伤害、死亡或财产损失其他用途("非预期用途")。关键部件指,者该部件发生故障,经合理预期会导致设备或系统故障或会影响设备或系统安全性和有效性的部件。针对由赛普拉斯产品非预期用途产生或相关的任何主张、费用、损失和其他责任,赛普拉斯不承担全部或部分责任任贵方不应追究赛普拉斯之责任。贵方应赔偿赛普拉斯产品任何非预期用途产生或相关的所有索赔、费用、损失和其他责任,每普拉斯不承担全部或部分责任任贵方不应追究赛普拉斯之责任。贵方应赔偿赛普拉斯产品任何非预期用途产生或相关的所有索赔、费用、损失和其他责任,包括因人身伤害或死亡引起的主张,并使之免受损失。

赛普拉斯、赛普拉斯徽标、Spansion、Spansion、徽标,及上述项目的组合,WICED,及 PSoC、CapSense、EZ-USB、F-RAM 和 Traveo 应视为赛普拉斯在美国和其他国家的商标或注册商标。请访问 cypress.com 获取赛普拉斯商标的完整列表。其他名称和品牌可能由其各自所有者主张为该方财产。